
Diseño de un circuito integrado con tecnología de 180nm usando la librería de diseño de TSMC. Verificación avanzada de la síntesis lógica y simulación avanzada del archivo final que incluye resistencias y capacitancias parásitas

Gerardo Enrique Cardoza Marroquín



UNIVERSIDAD DEL VALLE DE GUATEMALA
Facultad de Ingeniería



**Diseño de un circuito integrado con tecnología de 180nm
usando la librería de diseño de TSMC. Verificación avanzada
de la síntesis lógica y simulación avanzada del archivo final
que incluye resistencias y capacitancias parásitas**

Trabajo de graduación presentado por Gerardo Enrique Cardoza
Marroquín para optar al grado académico de Licenciado en Ingeniería
Electrónica

Guatemala,

2025

UNIVERSIDAD DEL VALLE DE GUATEMALA
Facultad de Ingeniería



**Diseño de un circuito integrado con tecnología de 180nm
usando la librería de diseño de TSMC. Verificación avanzada
de la síntesis lógica y simulación avanzada del archivo final
que incluye resistencias y capacitancias parásitas**

Trabajo de graduación presentado por Gerardo Enrique Cardoza
Marroquín para optar al grado académico de Licenciado en Ingeniería
Electrónica

Guatemala,

2025

Vo.Bo.:



(f) _____
Ing. Carlos Esquit

Tribunal Examinador:



(f) _____
Ing. Carlos Esquit



(f) _____
Ing. Pedro Ivan Castillo



(f) _____
Ing. Jonathan de los Santos

Fecha de aprobación: Guatemala, 23 de junio de 2022.

El presente proyecto se realizó durante la pandemia por el COVID-19 en el 2021, en donde se llegaron a tener algunos contratiempos por la conexión al servidor, en este era en donde se realizaban las pruebas necesarias para poder justificar el comportamiento del circuito. Al haber ciertos contratiempos la investigación se estuvo realizando de forma efectiva, gracias a los trabajos previos que se realizaron en el 2020 y en el 2019. En estos trabajos se impulsó mucho la investigación de los recursos que brindaba Synopsys y cómo incorporarlo al flujo de diseño para la realización del chip.

Aunque gran parte de la investigación fue mi responsabilidad hubo personas que me ayudaron a concretar ciertos objetivos y con apoyo a distintos problemas que podían llegar a surgir con la conexión a mi computadora desde mi casa. Me gustaría agradecer al Ingeniero Jonathan de los Santos por su orientación a la investigación y correcciones a este trabajo. También me gustaría agradecer a Steven Rubio que, a pesar de sus propios intereses, estuvo revisando mis avances y apoyándose en descifrar ciertos problemas que iban surgiendo. Por último, me gustaría agradecer a MSc. Carlos Esquit por proponer las bases de la investigación en los cursos programados en la carrera de ingeniería electrónica y por el apoyo como mi asesor.

Prefacio	III
Lista de figuras	VIII
Lista de cuadros	IX
Resumen	XI
Abstract	XII
1. Introducción	1
2. Antecedentes	2
3. Justificación	4
4. Objetivos	5
5. Alcance	6
6. Marco teórico	7
7. Verdi	20
7.1. Generación de la verificación del funcionamiento de una Not en Verdi	31
7.2. Flujos de circuitos con una complejidad baja	33
7.2.1. Flujo de una compuerta NOT	33
7.2.2. Flujo de una compuerta XOR	34
7.3. Flujos de circuitos con una complejidad media	35
7.3.1. Flujo de un <i>Full adder</i>	35
7.3.2. Flujo de una ALU de 4 bits	36
7.4. Flujos de circuitos con una complejidad alta	37
7.4.1. Flujo de un contador de 4 bits	37

8. Formality	39
8.1. Generación de la verificación del funcionamiento de una Not en Formality.....	39
8.2. Flujos de circuitos con una complejidad baja.....	42
8.2.1. Flujo de una compuerta NOT.....	42
8.2.2. Flujo de una compuerta XOR.....	44
8.3. Flujos de circuitos con una complejidad media.....	45
8.3.1. Flujo de un <i>Full adder</i>	45
8.3.2. Flujo de una ALU de 4 bits.....	47
8.4. Flujos de circuitos con una complejidad alta.....	48
8.4.1. Flujo de un contador de 4 bits.....	48
9. HSPICE	49
9.1. Simulación del diseño a nivel de HSPICE.....	49
9.1.1. Netlist de la compuerta NOT.....	49
9.2. Pruebas del chip El gran jaguar.....	51
10. Conclusiones	54
11. Recomendaciones	55
12. Bibliografía	56
13. Anexos	57
13.1. Uso de comandos.....	57
13.1.1. Formality.....	57

1.	Diagrama del Front-End.....	8
2.	Diagrama del Back-End	10
3.	Diagrama del flujo de verificación utilizando formality [10].....	14
4.	Pasos para la verificación del diseño	15
5.	Archivo ejecutable.....	21
6.	Invocando el simulador de Verdi	22
7.	Archivos generados para la ejecución de Verdi.....	22
8.	<i>Hierarchical flattened view</i>	23
9.	Menú con el esquemático y las señales para buscar errores del circuito.....	23
10.	Selección de señal y <i>Auto trace</i>	24
11.	Esquemático generado con el <i>Auto trace</i>	24
12.	Íconos generados del modo interactivo de Verdi.....	24
13.	Interacción con el esquemático	25
14.	Selección de una variable	26
15.	Selección del <i>Driver</i>	26
16.	Representación del esquemático con el <i>Driver</i> seleccionado	27
17.	Buscando señales dentro de Verdi.....	28
18.	<i>Find Scope</i>	28
19.	<i>Find Signal</i>	29
20.	<i>OneSearch</i>	30
21.	<i>OneTrace</i>	30
22.	<i>Driver and Load</i>	30
23.	Importando un diseño en Verdi.....	31
24.	Interfaz gráfica con el archivo Verilog cargado a Verdi.....	32
25.	<i>Wave Form</i> con el archivo .fsdb.....	32
26.	Seleccionando las señales que quiero mostrar en mi simulación.....	33
27.	Resultados del análisis de una compuerta NOT (VERDI).....	33
28.	Esquemático de la compuerta NOT (VERDI)	34
29.	Simulación generada con el archivo .fsdb mostrando señales de entrada y salida de una not (VERDI)	34
30.	Resultados del análisis de una compuerta XOR (VERDI).....	34
31.	Esquemático de la compuerta XOR (VERDI)	35

32.	Simulación generada con el archivo .fsdb mostrando señales de entrada y salida de una XOR (VERDI)	35
33.	Resultados del análisis de un <i>Full adder</i> (VERDI)	35
34.	Esquemático de un <i>Full adder</i> (VERDI)	36
35.	Simulación generada con el archivo .fsdb mostrando señales de entrada y salida de un <i>Full adder</i> (VERDI)	36
36.	Resultados del análisis de una ALU de 4 bits (VERDI).....	36
37.	Esquemático de una ALU de 4 bits (VERDI).....	37
38.	Simulación generada con el archivo .fsdb mostrando señales de entrada y salida de una ALU de 4 bits (VERDI)	37
39.	Resultados del análisis de un contador de 4 bits (VERDI)	37
40.	Esquemático de un contador de 4 bits (VERDI)	38
41.	Simulación generada con el archivo .fsdb mostrando señales de entrada y salida de un contador de 4 bits (VERDI).....	38
42.	Interfaz de formality en <i>Reference</i>	39
43.	<i>Set top design</i>	40
44.	<i>Pestañas de Formality</i>	40
45.	Importando las librerías con terminación .db	40
46.	Cargando el circuito sintetizado	41
47.	Verificación exitosa	41
48.	Verificación exitosa	41
49.	Resultados de los <i>Matching Points</i> de una compuerta not.....	42
50.	Resultados de la verificación de una compuerta not.....	42
51.	Esquemático del circuito de referencia vs el circuito sintetizado de una compuerta not.....	43
52.	Resultados de los <i>Matching Points</i> de una compuerta Xor	44
53.	Resultados de la verificación de una compuerta xor.....	44
54.	Esquemático del circuito de referencia vs el circuito sintetizado de una compuerta xor.....	45
55.	Resultados de los <i>Matching Points</i> del <i>full adder</i>	45
56.	Resultados de la verificación del <i>full adder</i>	46
57.	Esquemático del circuito de referencia vs el circuito sintetizado del <i>full adder</i>	46
58.	Resultados de los <i>Matching Points</i> de la ALU de 4 bits.....	47
59.	Resultados de la verificación de la ALU de 4 bits.....	47
60.	Listado de los puntos que pasaron la prueba	47
61.	Resultados de los <i>Matching Points</i> de un contador de 4 bits	48
62.	Resultados de la verificación de un contador de 4 bits	48
63.	Listado de los puntos que pasaron la prueba	48
64.	Resultados de los <i>Matching Points</i> del Gran jaguar.....	51
65.	Resultados de la verificación del Gran Jaguar	52
66.	Prueba del Gran jaguar con Verdi.....	52
67.	Circuito a implementar del Gran Jaguar	52
68.	Resultados del Verilog del Gran Jaguar	53
69.	Comandos requeridos para la verificación de la síntesis lógica de una compuerta NOT.....	57

70.	Comandos requeridos para la verificación de la síntesis lógica de una compuerta XOR.....	58
71.	Comandos requeridos para la verificación de la síntesis lógica de un <i>Full adder</i>	58
72.	Comandos requeridos para la verificación de la síntesis lógica de una ALU de 4 bits	58
73.	Comandos requeridos para la verificación de la síntesis lógica de un contador de 4 bits.....	59

Lista de cuadros

1.	Comandos para la ejecución de VCS.....	17
2.	VCS con detección de carrera dinámica.....	18
3.	Flujo propuesto en años anteriores.....	18
4.	Continuación del Cuadro.3.....	18
5.	Caracterización del circuito	19
6.	Comandos para la generación del archivo kdb.....	21
7.	Comandos para la generación del archivo kdb.....	22
8.	Documentacion del netlist de la NOT	50
9.	Documentación de la conexión que tiene la NOT.....	50
10.	Documentación sobre las instancias con las celdas de TSMC	51

Este proyecto consta de la simulación y verificación de archivos obtenidos de la etapa de diseño lógico y la extracción de parásitos de los componentes de un circuito. La fase de simulación del diseño lógico se enfoca en la depuración y optimización. Esto se realiza con una tecnología de 180nm, la misma se llevará a cabo usando las librerías de TSMC, con el fin de realizar un chip a escala nanométrica. Esta parte busca concentrar su atención en optimizar el proceso de la realización del circuito descrito en Verilog y en simular los esquemáticos, que pueden llegar a generar las herramientas de Synopsys, y para corroborar la síntesis lógica se utilizará Verdi y Formality.

La parte de la simulación sobre la extracción parásitos se realizará en HSPICE, esto permite simular el deck que contiene información generada por StartRC, el cual nos ayuda a caracterizar el circuito, para luego proceder a la fabricación del chip. Este proceso se pretende comprender lo que HSPICE ofrece, las librerías y los comandos que se utilizan en este proyecto, para que las personas en un futuro puedan utilizar el flujo de diseño y realizar sus propios proyectos desde un lenguaje descriptor de hardware. Además, se pretende mostrar como funciona el circuito con los parásitos incluidos en HSPICE y poder conocer las características técnicas que describen al circuito como: Potencia, Frecuencia, Análisis de tiempos, etc..

En el trabajo se realizó un flujo con distintos circuitos, aprendiendo de las herramientas proporcionadas por Synopsys. Se comenzó con circuito de poca complejidad tal como: un Not y una Xor. Luego, se procedió a realizar circuitos con mayor complejidad para ver si el flujo necesitaba de un cambio y así aprender más de las herramientas, ya que los softwares utilizados tienen su propio sistema de **debug**, con el fin de encontrar los errores en las simulaciones obtenidas. En este documento se presenta los diferentes flujos para cada circuito, en donde se muestra las verificaciones de equivalencias hechas por Formality entre el circuito descrito en Verilog y el circuito sintetizado y las verificaciones de funcionamiento de Verdi.

Esta fase de diseño es importante, ya que necesitamos comprobar que nuestro circuito descrito en hardware funcione correctamente, por lo tanto, necesitamos de verificaciones avanzadas para corroborar que se esté haciendo una buena síntesis lógica y no terminando problemas en la síntesis física.

This project consists of the simulation and verification of files obtained from the logical design stage and the extraction of parasites from the components of a circuit. The simulation phase of the logic design focuses on debugging and optimization. This is done with a 180nm technology, it will be carried out using the TSMC libraries, in order to make a chip at the nano-scale. This part seeks to focus its attention on optimizing the process of making the circuit described in Verilog and on simulating the schematics, which can be generated by the Synopsys tools, and Verdi and formality will be used to corroborate the synthesis.

The part of the simulation about the extraction of parasites will be executed in HSPICE, This allows us to simulate the deck that contains information generated by StartRC, which helps us to characterize the circuit, and then proceed to the manufacture of the chip. This process is intended to understand what HSPICE offers, the libraries and the commands used in this project, so that in the future people can use the design flow and carry out their own projects from a hardware descriptor language. In addition, it is intended to show how the circuit works with the parasites included in HSPICE and to be able to know the technical characteristics that describe the circuit such as: Power, Frequency, Time analysis, etc.

At work, a flow with different circuits was carried out, learning from the tools provided by Synopsys. It started with a low complexity circuit such as: a Not and an Xor. Then, we proceeded to make more complex circuits to see if the flow needs a change and thus learn more about the tools, since the software used has its own textbf debug system, in order to find the errors in the simulations obtained. This document presents the different flows for each circuit, showing the equivalence checks made by Formality between the circuit described in Verilog and the synthesized circuit and Verdi's performance checks.

This design phase is important, since we need to check that our circuit described in hardware works correctly, therefore, we need advanced verifications to corroborate that it is doing a good logical synthesis and does not end up giving problems in the physical synthesis.

La nanoelectrónica es un tema que actualmente en Guatemala no se maneja, ya que se carece de conocimientos y equipo para generar chips a nano escala. Al diseñar un chip es un proceso muy complejo sin las debidas herramientas, ya que cada parte del diseño debe cumplir con las reglas preestablecidas por el fabricante, además se debe tener en cuenta el funcionamiento del diseño para que la fabricación salga exitosa.

Como todo diseño requiere de pruebas y simulaciones, en este caso en las fases iniciales del diseño se creó un archivo con lenguaje descriptor de hardware y el archivo va a pasar por una síntesis lógica y también pasara el circuito del archivo Verilog sintetizado, para poder transmitirla a otras fases de diseño (la síntesis física). Con estas pruebas se puede descartar cualquier problema en la síntesis lógica, haciendo un proceso más cómodo para depurar procesos. Estas simulaciones se llevarán a cabo por las librerías de TSMC.

La investigación presente muestra la forma de utilizar Verdi desde la interfaz gráfica y ver la solución avanzada para la depuración de los diseños. Verdi es una herramienta útil para comprender el comportamiento del diseño, optimizar procesos tediosos de depuración y resolver errores. En formality se realizará un proceso simple que detecta las diferencias inesperadas que se pueden introducir en el diseño durante el desarrollo. En este proceso se logrará ver las respuestas que nos da formality en cada uno de los flujos con diferentes circuitos y el uso de la herramienta por medio de la interfaz gráfica y por comandos, para la detección de errores. Por último, en este documento se muestra la fase final del flujo, la cual es la simulación de parásitos por medio de la herramienta de HSPICE y WaveView, la cual indica la caracterización del circuito y el funcionamiento de este con parásitos. El fin de esto es poder visualizar si el flujo realizado fue exitoso, ya que nos mostrara el comportamiento que tiene el circuito con los parásitos obtenidos.

El siguiente proyecto se llevó a cabo gracias al Ing. Carlos Esquit, quien en 2009 fue nombrado director de carrera del departamento de Ingeniería Electrónica y Mecatrónica en la Universidad Del Valle de Guatemala. En 2013 Impartió el curso VLSI posteriormente nanoelectrónica 1 y por este medio se aprendieron los conceptos básicos para comenzar a realizar este proyecto. [1]

El diseño ha ido evolucionando conforme a los cursos de nanoelectrónica 1 y 2, que dieron lugar en la reforma curricular realizada en el 2015, en la Universidad del Valle por Carlos Esquit. Con esto se pudo ir evaluando conceptos claves que nos servirían en un futuro, para completar el flujo de diseño. [1]

En el 2019 un grupo de estudiantes de la Universidad inició un proyecto de un chip a escala nanométrica, y posteriormente otro grupo de estudiantes en el 2020 realizaron mejoras sobre el mismo.

Los pioneros anteriormente mencionados son Luis Nájera y Steven Rubio, quienes iniciaron con una estructura del flujo de diseño, La cual consta de proceso que se divide en dos categorías: El diseño lógico y el diseño físico. Este esquema planteado tenía el fin de elaborar ambas partes, dejando los instrumentos necesarios para la ejecución del flujo utilizando siempre herramientas de Synopsys, en donde se plantearon las guías de instalación para poder obtenerlas y utilizarlas para el flujo de diseño. Aunque al final el uso de las herramientas resultó ambiguo. [1] [2]

Durante los años 2020 y 2021 se retomó el proceso de investigación sobre cómo realizar el flujo de diseño para realizar un chip a nano escala. Luego fue gracias a Synopsys el uso de las herramientas y al software Splashtop, el cual hizo posible el ingreso a las computadoras de la Universidad y de manera remota poder completar el diseño.

En el año 2020 varios alumnos fueron encargados de las distintas etapas de diseño, pues esto tenía como fin dejar una plantilla casi terminada, para poder correr cualquier programa y que el flujo de diseño pase sin ningún inconveniente, lastimosamente por la pandemia del

COVID 19 (2020) se completó solamente un circuito pequeño, y no fue comprobado en su totalidad el diseño físico. Incluso no se tenía el conocimiento completo de cada parte del flujo del diseño. Sin embargo, se llegó a tener una gran parte del proyecto completada, y fue posible definir que herramientas de software son las necesarias para realizar cualquier proceso del flujo de diseño. [3]

La fabricación de un chip a nano escala representa un gran avance para la Universidad del Valle de Guatemala y para el país, ya que esta será la primera vez que una Universidad de Guatemala pueda ser capaz de realizar el diseño de un chip con una tecnología de 180nm. Con el flujo de diseño se pretende diseñar y posteriormente enviar a fabricar chips que sean diseñados por medio de un programa de descriptor de hardware, además que puedan ser utilizados en proyectos de mayor escala. Esto no solo representa una revolución en la universidad, sino que incluso representa un incentivo para el desarrollo en Guatemala sobre la investigación en nanoelectrónica.

Este trabajo, es un parte importante dentro el flujo de diseño, ya que es base para partes posteriores. Esto porque plantea que se sintetizará por medio de las herramientas de Synopsys y con la simulación y la comparación de los diseños digitales que serán: el original y el sintetizado. Estos jugarán un papel importante pues dentro del esquema ayudan a resolver la complejidad que pueda representar el circuito en las otras fases. Teniendo en cuenta esto se espera que, con el esquema claro a la hora de sintetizar un circuito este logre comportar de la manera deseada y de ser así este pueda ayudar a la parte del diseño lógico para ver si se encuentra un error en el circuito.

En la fase de diseño enfocada a la simulación en el *deck* generado de la extracción de parásitos, es una parte que depende de todas las fases anteriores, ya que esta enseñará las simulaciones, en donde podremos ver las respuestas reales gracias a las herramientas de Synopsys del circuito que se pretende realizar. La etapa de la simulación con parásitos será la que indique el correcto funcionamiento del chip antes de ser enviado a fabricar.

4.1 Objetivos generales

- Realizar las verificaciones necesarias de la síntesis lógica en Verdi y Formality.
- Realizar las simulaciones del *deck* generado por la extracción de parásitos, con el fin de garantizar los resultados esperados y la caracterización del circuito.

4.2 Objetivos específicos

- Establecer un proceso para validar los archivos generados en la síntesis lógica, con el fin de automatizar el proceso de verificación de síntesis lógica y la simulación del *deck* generado en el proceso de la extracción de parásitos.
- Mostrar la caracterización final del chip con los parásitos incluidos, utilizando las herramientas de Synopsys.
- Usar el *deck* generado en el proceso de la extracción de parásitos para luego simularlo con HSPICE y corroborar el correcto funcionamiento del circuito.
- Tener una comunicación efectiva con las personas encargadas de distintas partes del flujo para la solución rápida de errores.

En la presente investigación se pretende mostrar el proceso requerido para la realización de distintos flujos utilizando la herramienta Verdi y Formality. En donde también se mostrará un poco de la herramienta de VCS para la generación de archivos.

En otro caso, se pretende mostrar el final del flujo de diseño comprobando que realmente funciona el circuito propuesto utilizando la tecnología VLSI CMOS para la realización del chip con los parásitos incluidos que puede llegar a generar el circuito con la herramienta HSPICE.

Con la utilización correcta de estos flujos se podrán evitar errores en fases posteriores y con la certeza de que el flujo se está realizando de la forma correcta. Además de mostrar una documentación exhaustiva para tener un flujo adecuado, con el fin de mandar a fabricar el chip y tener un flujo para proyectos futuros.

A pesar de la pandemia del COVID-19, se logrará mostrar el trabajo final, gracias al software Splashtop que está haciendo lo posible, para que podamos tener un flujo completo y validar los flujos necesarios con las herramientas de Verdi, Formality y HSPICE.

6.1 Diseño VLSI

En este proceso se detalla el diseño y la fabricación de los CMOS, con el fin de poder fabricar un chip. Este proceso requiere de los transistores de canal n (nMOS) y canal p (pMOS). Estos sistemas basados en VLSI contienen grandes ventajas en el mundo de la electrónica, ya que permiten hacer un chip con muchas funcionalidades a un tamaño muy pequeño, La velocidad también se considera un factor importante, ya que las capacitancias parásitas se logran reducir a un nivel considerable y, por último, la potencia se logra reducir, y se puede ver respecto al costo un beneficio en la alimentación más pequeña, enfriamiento, etc. [4]

Desde que William Shockley, John Bardeen y Walter Brattain logran inventar el transistor de puntas de contacto, comenzaron a revolucionar este mundo de los transistores y al proponer el transistor bipolar en 1948, se convierte en una de las bases que se utiliza en la actualidad, para realizar el proceso de un chip a nano escala. Luego de los años se descubrió la estructura de los MOSFET'S que llegaron a reemplazar a los JFET'S, esto fue gracias a Ian Munro Ross. La idea de los MOSFET'S era más antigua, pero él logró que se hiciera viable los efectos de campo. El VLSI se conoce como *Very Large Scale Integration*, en donde el número de componentes es de 10,000 a 100,000 y el número de compuertas es de 1000 a 10,000. [5] El ingeniero Gordon Moore, logró observar en 1965 que la cantidad de transistores iba aumentando según los años que pasaban por un factor de 2, es decir que por cada año la cantidad de transistores en un microprocesador aumentaba cada año. En el 2007, el mismo Moore produjo que su ley dejara de existir dentro de 10 o 15 años, dependiendo de lo que se realice en estos años. [5]

6.2 Flujo de diseño

El flujo de diseño nos muestra el esquema requerido para poder realizar una serie de pasos para el diseño y la fabricación un circuito integrado. Este flujo de diseño se logra

dividir en dos partes (Front End y Back End). Lo que se busca con este flujo es encontrar la manera de fabricar un chip no tenga errores y que sea funcional respecto a las necesidades requeridas.

Front End Este se encarga de resolver un problema pasándolo a un lenguaje descriptivo, en este caso se usa los lenguajes de Verilog y VHDL. En esta etapa se encuentran los pasos necesarios para la arquitectura de diseño. A continuación, se logran ver los pasos necesarios para que se pueda elaborar el diseño front end.

Primero: Se debe realizar el circuito, por medio del lenguaje descriptivo de hardware como Verilog, el cual presenta la solución del problema establecido.

Segundo: Se denomina la síntesis lógica, este es un proceso en donde se toma el diseño RTL, que fue descrito en Verilog o VHDL. En esta también se producen comprobaciones y simulaciones, con el fin de comprobar el modelo RTL propuesto.

Tercero: El *netlist*, este es un circuito generado, después de la síntesis lógica en donde se logra observar por medio de librerías.

Cuarto: Se utilizan varios softwares con el fin de verificar la funcionalidad de la síntesis del circuito.

[6]

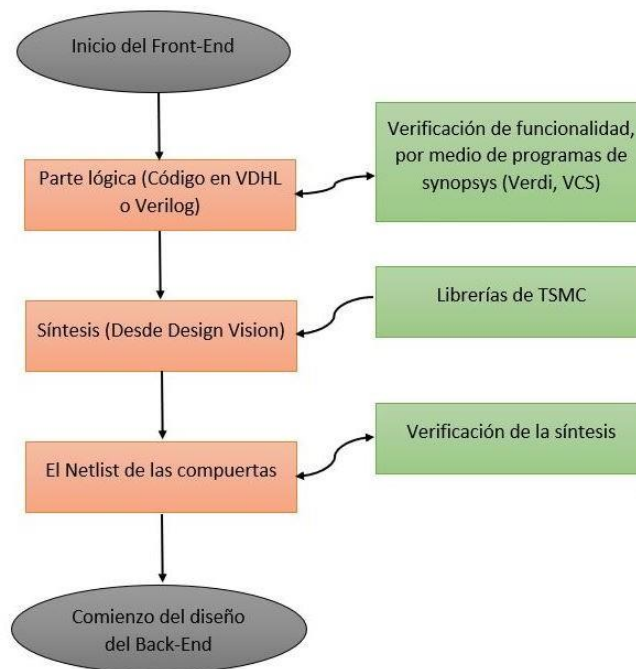


Figura 1: Diagrama del Front-End

Back End Esta parte va más inclinada a la implementación del circuito en físico. Esta toma la parte del lenguaje descriptivo, en forma de un diseño en físico, el cual se convierte en un *layout*, en donde podemos ver a más detalle como está compuesto el circuito.

Primero: En este se encuentra la síntesis física, el cual se basa en el *netlist*. Al pasar a esta etapa se encuentra el *layout*, en donde tenemos más información acerca del circuito y además podemos manipularlo, con el fin que cumpla las reglas de diseño especificadas por la empresa que va a realizar el chip.

Segundo: Se decide el *placement*, en este caso nosotros decidimos dónde se van a poner las celdas con el fin de que llegue a ser lo más óptimo posible y sencillo de arreglar en un futuro.

Tercero: Al tener las celdas puestas en la mejor posición posible se procede a interconectar las salidas y las entradas de cada parte del circuito descrito, este parte se conoce como routing.

Cuarto: Este se denomina *Design Rule Check*, este consiste en verificar que el layout no contenga errores o reglas de diseño que son impuestas dependiendo de la tecnología.

Quinto: Este se denomina *layout versus schematic*, este consiste en verificar la integridad del diseño. Este compara el *layout* con el *netlist*(síntesis lógica).

Sexto: La extracción de parásitos, aquí es donde se simula la parte del *layout* con la cantidad de parásitos que pueda tener el *layout*, y se logra ver que tanto llega a afectar al final del proceso.

[6]

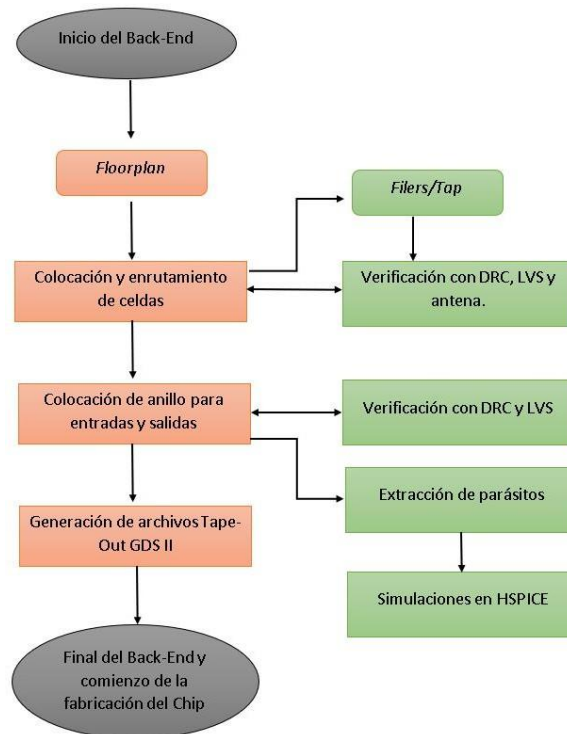


Figura 2: Diagrama del Back-End

6.3 Lenguaje descriptor de hardware

Estos lenguajes son utilizados con el fin de describir una arquitectura y lograr visualizar el comportamiento de un sistema electrónico. La forma más fácil de representar un circuito es mediante la utilización de diagramas o esquemas estos hacen una evidencia gráfica de lo que se pretende realizar. Ya que con el paso del tiempo comenzaron a salir circuitos más complejos que no pueden ser representados de una manera visual, nació la idea de integrar las herramientas de descripción de síntesis, simulación y realización. Al principio se logró utilizar un lenguaje de descripción que solo permitía secuencias simples, a este se le nombró *netlist*. Luego de estos programas simples que ya eran reconocidos como lenguajes de descripción de hardware, lograron ver el gran impacto que podían tener a la hora de describir circuitos complejos.[7]

Mientras que todo iba evolucionando, la posibilidad de desarrollar circuitos digitales mediante dispositivos programables se hacía más viable, ya que los circuitos, ya representaban una cantidad considerable de componentes. Este tipo de lenguajes estaban orientados para la realización de simulaciones, por lo que no importaba mucho que el nivel de abstracción fuera tan alto. Al momento de la aparición de técnicas para la síntesis de circuitos a partir de lenguajes que se consideraban de alto nivel de abstracción, se comenzaron a utilizar también para la síntesis de circuitos. [7]

6.4 Verilog y VHDL

Verilog es un lenguaje que se utiliza para describir hardware, en el cual podemos diseñar y simular circuitos electrónicos (digitales). Este lenguaje es una derivación de la programación en C, con el fin que los ingenieros puedan entenderlo. VHDL también se encuentra englobado dentro de los lenguajes de descripción de hardware. En sí, un HDL es un tipo de lenguaje especializado que define la estructura, diseño, operación de circuitos electrónicos y circuitos digitales. Este tipo de lenguaje es una forma de representación formal de un circuito electrónico, con la posibilidad de hacer un proceso más simple.

El lenguaje VHDL se considera un estándar, este no depende de ningún fabricante o dispositivo, es independiente. El fin de este lenguaje es que se puedan reutilizar los diseños y tiene la ventaja de ser un diseño jerárquico. Verilog este puede llegar a soportar lo que son circuitos analógicos, pruebas y señales mixtas a distintos niveles de abstracción. [7]

6.5 VCS

Es una de las soluciones de la verificación funcional que se utiliza en la mayoría de las empresas de semiconductores en el mundo. Este es un programa que proporciona características innovadoras para lograr un mayor rendimiento y permite los flujos de verificación de desplazamiento al principio del ciclo de diseño. Este ofrece como solución con Native Testbench, compatibilidad con Verilog, análisis y cobertura e integración con Verdi. VCS satisface las necesidades de los diseñadores para poder verificar los resultados obtenidos de la prueba de un circuito elaborado en un programa compatible de descripción de hardware.

Esta herramienta cuenta con un flujo de dos pasos para evaluar el funcionamiento del circuito descrito.[8]

Flujos de VCS

Este es un flujo que se utiliza para poder comprobar si el diseño en Verilog HDL y SystemVerilog, son funcionales para la fabricación del Chip.

Primero: El primer paso es lograr compilar el diseño, en esta etapa VCS logra construir una instancia de jerarquía y logra generar un archivo .simv que se utiliza para poder realizar la simulación.

Segundo: En esta etapa se simula el diseño con el archivo generado en la primera parte (.simv). En esta etapa se logra ver si se logró correr la simulación.

Existe otro flujo de dos pasos, este permite diseños en Verilog, VHDL y mixedHDL. Este consta de 3 pasos.

Primero: Analizar el diseño, en esta etapa VCS logra dar los ejecutables, los cuales son vhdlan y clogan, con el fin de analizar el diseño y lograr almacenar archivos en la carpeta de trabajo.

Segundo: Elaborar el diseño, en esta parte se adquiere un archivo .vcs, el cual se compila y logra elaborar el diseño utilizando los archivos generados en la librería de trabajo. Luego

da un archivo .simv.

Tercero: Simular el diseño, este se logra simular con el archivo, el cual es un ejecutable binario que se describió en el paso anterior. [3]

6.6 Verdi

Esta herramienta de Synopsys se considera un sistema de depuración automatizado y permite la depuración integral de todos los flujos de diseño y verificación. Este sistema tiene una tecnología poderosa que le ayuda a comprender el comportamiento del diseño definido, y lo más relevante es que ayuda a optimizar los procesos difíciles y tediosos. En esta herramienta pretende reducir el tiempo de depuración en más del 50 por ciento, esto es posible porque automatiza el comportamiento, por medio de un seguimiento con una tecnología única de análisis. También logra extraer, aislar y mostrar la lógica pertinente en los diseños. Logra revelar el funcionamiento y la interacción con el diseño propuesto. El sistema de depuración por completo que tiene Verdi, utiliza la tecnología y las capacidades de un sistema de depuración, cabe resaltar que este utiliza funciones avanzadas de depuración con soporte para una gran cantidad de lenguajes y metodologías.[9]

Funciones principales

- Seguimiento rápido de la actividad de muchos ciclos de reloj con una potente tecnología de análisis.
- Vistas de flujo temporal que proporciona una visualización de tiempo y estructura para comprender las relaciones de causa y efecto.
- Analizar diseños en niveles más altos de abstracción.
- Depuración basada en aserciones con soporte integrado.[3]

Depuración de SystemVerilog Testbench

- Soporte de código fuente para SystemVerilog Testbench, incluyendo la metodología de verificación universal (UVM).
- Vistas especializadas que ayudan a comprender el código, viendo la navegación y exploración de jerarquías basadas en declaraciones.
- Capacidad de registro de transacciones automatizadas, que brindan una imagen completa de la actividad del banco de pruebas en el entorno de verificación después de la simulación.
- Control de simulación interactivo que permite correr el código completo.
- Las vistas de depuración compatibles con UVM permite explorar los resultados de aspectos específicos.
- Vistas de depuración a nivel de transacción y logran admitir el registro de datos. [3]

Mas acerca de Verdi

Este sistema de depuración automatizado tiene compiladores e interfaces. Los compiladores que son utilizados en la parte de diseño mayoritariamente son Verilog, VHDL Y System Verilog. La interfaz que tiene Verdi implementa los estándares industriales de datos VCD y SDF. Normalmente los resultados por la herramienta son guardados en la Fast Signal Database. Verdi también permite la interoperabilidad con lo que se conocen los simuladores lógicos, las herramientas de verificación y los análisis de tiempo. Las bases de datos que Verdi maneja son las de conocimiento que se pueden llamar KDB y la base de datos de señal rápida conocida como FSDB. En KDB normalmente se utiliza para almacenar información lógica y funcional para el diseño implementado. La base de datos FSDB, logra almacenar los resultados de la simulación. Al utilizar la información que proporcionan estas bases de datos, Verdi tiene unas herramientas de análisis que resultan ser muy útiles dependiendo de la aplicación que se quiera dar, estas son: Análisis de estructura, comportamiento, evaluación y Mensajes. [3]

6.7 Formality

Esta herramienta utiliza la comparación y la verificación para la equivalencia de dos circuitos dados, en este caso sería un archivo de Verilog sintetizado y sin sintetizar, con estos archivos se muestra la diferencia que pueda a ver en el circuito y da seguimiento a un análisis detallado.

Esta herramienta se usa más como una alternativa para la simulación de la síntesis lógica, en si la simulación logra aplicar una gran cantidad de vectores de salida que resultan de los valores esperados y cuando los circuitos se llegan a volver más complejos es mayor la cantidad de vectores que se utilizan y además logra evitar cuellos de botella en el flujo de diseño.

Los cuellos de botella se dan por: Gran cantidad de vectores, Los simuladores deben de procesar más eventos por cada vector, lo que indica mayor tamaño y complejidad del diseño y por último mientras existan más vectores van a provocar un mayor intercambio de memoria, y esto va a ralentizar el rendimiento.

Este utiliza para realizar la verificación formal un diseño de referencia, este diseño no requiere vectores de entrada. Esta verificación solo requiere de funciones lógicas durante la comparación y es independiente de las propiedades físicas del diseño. La mayor fortaleza de esta herramienta es la capacidad de mostrar diferencias inesperadas sin depender de conjuntos de vectores y verificando diseños grandes con el fin de mostrar una cobertura del diseño al 100 % y realizando una simulación más eficaz. [10]

Esta herramienta consta de dos funciones básicas verificar la equivalencia y verificación del modelo.

- La verificación de equivalencias prueba si una representación del diseño es lógicamente equivalente a otro, es decir, que los dos circuitos muestran el mismo comportamiento en cualquier condición a pesar de las diferentes representaciones, el circuito sintetizado y el circuito descrito en hardware.

- La verificación del modelo prueba si un diseño se adhiere a un conjunto específico de propiedades lógicas. [10]

Para la verificación individual se puede ver representada por dos diseños el de referencia y el implementado, por medio de "matches" va emparejándolos según corresponda y ya realiza la verificación formal. Para una representación visual, se muestra a continuación un flujo de verificación de formality:

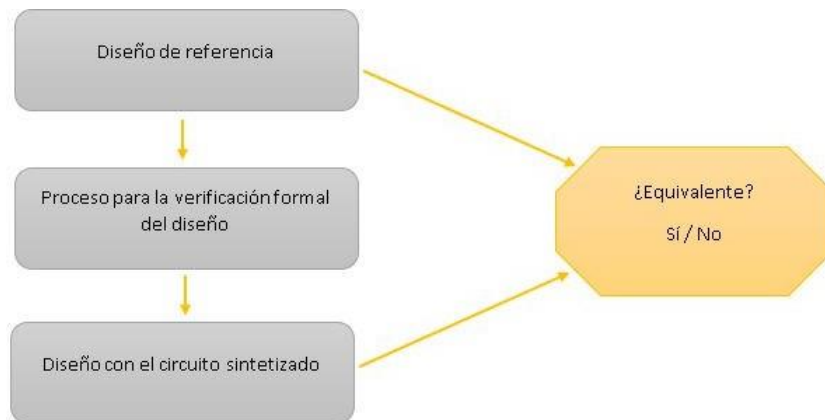


Figura 3: Diagrama del flujo de verificación utilizando formality [10]

Formality contiene conceptos interesantes que nos ayuda a entender el proceso de la herramienta de una forma más detallada y va muy de la mano a la interacción que tenemos con la interfaz gráfica y se enfoca en estas definiciones para mostrar los pasos necesarios para realizar buenas comparaciones entre ambos circuitos.

Guidance: Como primer concepto se encuentra el de guía, que es el primer paso a realizar en el flujo, este consiste en entender el análisis de equivalencias y ver los procesos que cambian en los diseños causados por otra herramienta de procesos anteriores.

Black Boxes: Una caja negra es considerada una instancia del diseño que no se conoce realmente. Este aparece en componentes no sintetizados como: RAMs, ROMs y analog circuits.

Limitaciones: Al usar restricciones ayuda a limitar el número de combinaciones que se pueden dar en los valores de entrada, también logra reducir el tiempo de verificación y elimina posibles fallas sobre falsas verificaciones que son consideradas no utilizadas de valores de entrada.

Matching: En este caso, formality busca los puntos de comparación, en donde cada uno de esos puntos debe tener una correspondencia uno a uno entre los objetos de diseño en la referencia. Esto se realiza antes de la verificación del diseño y tiene que estar coincidiendo cada salida, elemento secuencial, pin de entrada de una "black box". Cada punto de comparación es un objeto del diseño que se utiliza como un punto final de la lógica combinacional durante la verificación. Formality lo que verifica es un punto de comparación que llega a comparar el cono lógico de un punto en el diseño de implementación contra otro cono lógico

en el diseño de referencia.

Verificación: Esta se considera la función principal de equivalencias, en donde la herramienta muestra si realmente es consistente con el diseño o la librería a implementada.[10]

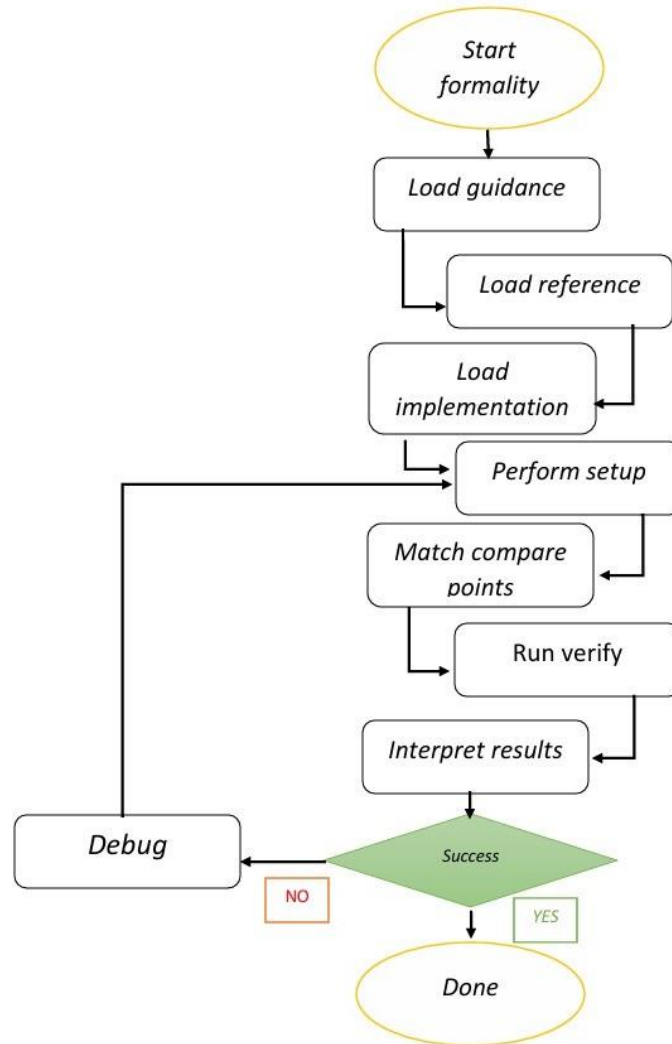


Figura 4: Pasos para la verificación del diseño

6.8 Extracción de parásitos

La extracción de parásitos se puede realizar después de haber hecho las pruebas pertinentes en el flujo del diseño, este pertenece a la parte del Back-End, después con HSPICE se busca el archivo generado con parásitos para ver cómo se comporta la simulación, en donde también se utiliza el StarRC. Todo esto es con el fin de garantizar que el diseño VLSI es factible y que las capacitancias parásitas no van a afectar el circuito.

Esto sucede al jugar con los transistores que generan lo que se llaman capacitancias parásitas que generan un efecto adicional en los conductores que funcionan como placas entre el dieléctrico, y este tipo de parásitos va a ir aumentando conforme las frecuencias, más que todo en este caso al meter muchos transistores las capacitancias parásitas van a ir aumentando. En la implementación de circuitos nanométricos las interconexiones entre cables pueden llegar a representar problemas por los parásitos que se pueden generar, al igual que puede pasar con las difusiones de los componentes que pueda proveer las librerías de TSMC.

El fin de la extracción de parásitos es la representación de los efectos electromagnéticos que los cables y las difusiones puedan generar al momento de correr la simulación, en componentes como la capacitancia, resistencia e inductancia. [6]

StarRC

Esta herramienta se considera la solución para la extracción de parásitos. Esta herramienta amplía los beneficios de rendimiento, en donde se basa en mejorar la arquitectura y hace que el proceso sea más efectivo. Este programa logra eliminar la necesidad de lo que es la escritura parásita en un netlist y este mismo logra ahorrar el espacio del disco. Más que todo se especializa en optimizar el proceso reduciendo las capacitancias parásitas que puedan llegar a afectar el comportamiento deseado de un circuito. [11]

HSPICE

HSPICE es una herramienta de synopsys que permite realizar las simulaciones de un programa generado (.spf), en donde viene de la mano con Custom Wave View. El fin de este programa es ver una simulación y lograr ver el comportamiento del circuito. Este se considera uno de los simuladores más potentes, ya que muestra gran precisión en los datos y la mayoría de las empresas de semiconductores dependen de esta herramienta. Además, se pueden realizar análisis de los circuitos eléctricos en estado estacionario, en el dominio de frecuencia y el transitorio.[6]

Trabajo realizado en años anteriores

En los años anteriores se realizaron trabajos de investigación para poder utilizar y lograr entender los softwares como Verdi, Formality, VCS y HSPICE.

Se realizaron diferentes tipos de flujos según la complejidad requerida, en donde se lograron diseñar distintos flujos en la herramienta VCS, con el objetivo de verificar el comportamiento del circuito sintetizado. En este se realizan dos simulaciones una para el circuito original y uno para el circuito sintetizado que ya hace referencia a las librerías de TSMC de 180 nm. Entonces el trabajo realizado por Jefferson Ruano, ya nos dice las librerías utilizadas para la simulación. En el trabajo del año 2020, también se logra ver el flujo de simulación con detección de condiciones de carrera, las cuales puede mostrar inconsistencias en las simulaciones ejecutadas. También logra mostrar el flujo para la evaluación de desempeño, en donde VCS cuenta con una herramienta conocida como generación de perfiles de simulación unificado, esta herramienta nos permite ver la cantidad de tiempo de CPU y memoria usada por nuestro diseño.[1]

Con VCS en el trabajo realizado en el 2019 se realizo un flujo de simulación básico, el cual se utilizo para la simulación de Verdi del circuito original y el sintetizado. En este flujo básico se utilizaron ciertos comandos para llegar a realizar esto:

```
vcs-Mupdate -RPP -v /yourPath/chip.v/yourPath/testBench.v -o demo -full 64 -  
debug_all  
vcs -V -R /yourPath/saed90nm.v /yourPath/chip_syn.v /yourPath/testBench_s.v -  
o yourDesignName -full64 -debug  
-----  
./yourDesignName -gui
```

Cuadro 1: Comandos para la ejecución de VCS

Luego con el tiempo se desarrollaron métodos más complejos para el desarrollo de circuitos mas complejos, en donde ya se realizaron flujos con detecciones de carrera, en esta se utilizaron detecciones de carrera dinámica y detecciones de carrera estática. [3]

Para la dinámica se llega a generar lo que es un archivo *race.out* y *race.unique.out*, en donde una contiene una línea para las condiciones encontradas en la simulación y el otro contiene las líneas para las condiciones de carrera que son únicas respectivamente. [3] Se muestra a continuación el flujo propuesto por Jefferson con detección de carrera dinámica:

```

VCS_HOME=/usr/synopsys/vcs-mx
export VCS_HOME
PATH=V CSHOME/bin :PATH
export PATH
PATH=usr/synopsys/verdi/bin:$PATH
export PATH
% vcs -V -R tcb018gbwp7t.v tpd018nv.v yourDesign.v yourTestbench.v -o racesim -
race -full64 -debug_all ./racesim -gui

```

Cuadro 2: VCS con detección de carrera dinámica

Para la herramienta de detección estática, se utilizan los *loops*, ya que estos son considerados como condiciones de carrera y esto suele ocurrir cuando eventos de control se encuentran después de un *always*. En esta parte del flujo se llega a proponer dos pruebas del diseño evaluado, una para evaluar los *loops* y otra para evaluar las condiciones de carrera que puedan existir en el reloj y los datos. [3] El flujo que fue propuesto es el siguiente:

```

VCS_HOME=/usr/synopsys/vcs-mx
export VCS_HOME
PATH=$VCS_HOME/bin:$PATH
export PATH
PATH=usr/synopsys/verdi/bin:$PATH
export PATH
% vcs yorDesign.v yourLibrary.v -hsopt=racedetect
% ./simv
% cat hsRaceInfo.db

```

Cuadro 3: Flujo propuesto en años anteriores

```

VCS_HOME=/usr/synopsys/vcs-mx
export VCS_HOME
PATH=$VCS_HOME/bin:$PATH
export PATH
PATH=usr/synopsys/verdi/bin:$PATH
export PATH
% vcs yorDesign.v yourLibrary.v -hsopt=racedetect
% ./simv
% cat hsRaceInfo.db

```

Cuadro 4: Continuación del Cuadro.3

Como última parte se habla del flujo para la evaluación de desempeño. VCS cuenta con una función que se le conoce como generador de perfiles de simulación unificado y con esta herramienta podemos ver la caracterización del circuito. Al utilizar esta herramienta

requiere del siguiente flujo: [3]

```
VCS_HOME=/usr/synopsys/vcs-mx
export VCS_HOME
PATH=$VCS_HOME/bin:$PATH
export PATH
PATH=/usr/synopsys/verdi/bin:$PATH
export PATH
% vcs tcb018gbwp7t.v tpd018nv.v yourDesign.v yourTestbench.v -simprofile=time
./simv -simprofile mem (or time)
profrpt simprofile_dir -view time_summary -format text -outout NOTperformance -
filter 0.0001
```

Cuadro 5: Caracterización del circuito

El trabajo realizado con Formality, se logró aprender que es una alternativa a la validación en las herramientas de VCS y Verdi. Este llega a generar un reporte más práctico, ya que logra generar un reporte más simple con las coincidencias e inconsistencias al ver los circuitos.[3]

En el trabajo realizado por Charlie Ayenci, en donde logro simular el diseño con parásitos por medio HSPICE, hubo ciertos errores al correr la simulación en donde, la empresa TSMC solamente logra proveer un kit académico, por lo que solo se encontraran las *black boxes*, que solo contienen el diseño de silicio del componente y con esto el netlist no logra poseer los puertos de entrada, salida y alimentación.[6]

Verdi es una herramienta para resolver y entender los errores en un pequeño fragmento de tiempo. Con esta herramienta estamos mejorando la eficiencia y la productividad del tiempo que puede llegar a ser invertido en el proceso de la síntesis lógica.

Esta plataforma necesita información de *knowledge DataBase* y *Fast Signal Database*, en donde en esta ocasión se utilizó el archivo `.fsdb` para poder tener una simulación representativa del Verilog.

En esta parte se va a mostrar el Verilog con el análisis que utiliza, al compilar veremos si detecta algún error o incluso *warnings*, que pueden llegar a afectar el circuito en un futuro.

Primero que nada para comenzar a utilizar verdi se necesita la generación de 2 base datos, las cuales son: "KDB"Y "FSDB", estas base de datos son generadas por el programa VCS. Cabe resaltar que se puede encontrar mas información sobre el proceso completo de la generación de estos archivos en el archivo escrito por Elmer Otoniel Torres Garza con el nombre del trabajo de "Diseño de un circuito integrado con tecnología de 180 nm usando librerías de diseño de TSMC: Ejecución y simulación para la etapa de síntesis lógica". Para la generación de los archivos debemos de abrir una carpeta en donde contenga las librerías de TSMC con terminación `.v`, en este caso se utilizan : `tcb018gbwp7t.v` y la de `tpd018nv.v`. Estos archivos contienen celdas y el otro contiene los pines de entrada y salida. En la misma carpeta se puede tener un archivo de Verilog sencillo, con su respectivo *TestBench* , pero en este caso usaremos la compuerta sintetizada, para comprobar que la compuerta este funcionando bien después de la síntesis y ver si realmente el circuito cambio en algo, haciendo referencia al archivo `.fsdb` generado por VCS.

```
vcs -Mupdate -RPP -v tpd018nv.v tcb018gbwp7t.v out_not_io.v Not_tb.v -o simulacion -full64 -debug_acc+all -debug_region+cell+encrypt  
vcs -Mupdate -RPP -v tpd018nv.v tcb018gbwp7t.v out_not_io.v Not_tb.v -o simulacion -full64 -debug_access+all -kdb -lca
```

Cuadro 6: Comandos para la generación del archivo kdb

Como podemos ver en la sección de comandos de VCS en el Cuadro 6, utilizamos la opción de *Debug access all* con el fin de poder usar los dos modos de Verdi, los cuales son: *Debug Mode* y *Post-Processing mode*.

Después de haber corrido estos comandos procedemos a ir a nuestra carpeta y vamos a ejecutar el ejecutable con el nombre de simulación.

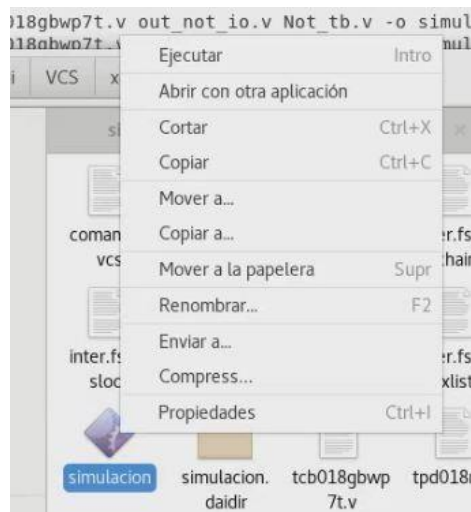


Figura 5: Archivo ejecutable

Al terminar la ejecución tendremos que abrir Verdi en la misma carpeta para cargar los archivos fsdb y kdb. Luego regresamos a la terminal para ingresar el siguiente comando para ingresar a verdi con el método interactivo.

```
verdi -ssf not.fsdB
```

Cuadro 7: Comandos para la generación del archivo kdb

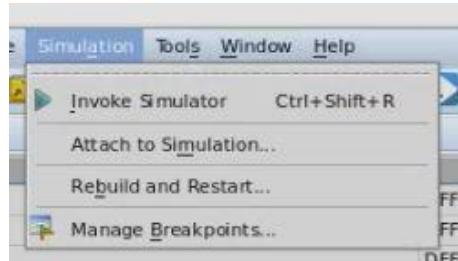


Figura 6: Invocando el simulador de Verdi

Al darle *Invoke simulator*, se va a generar otro archivo fsdb que va a tener el nombre por defecto de *inter.fsdB*, este archivo nos va a servir para corroborar que los pasos fueron realizados con éxito.

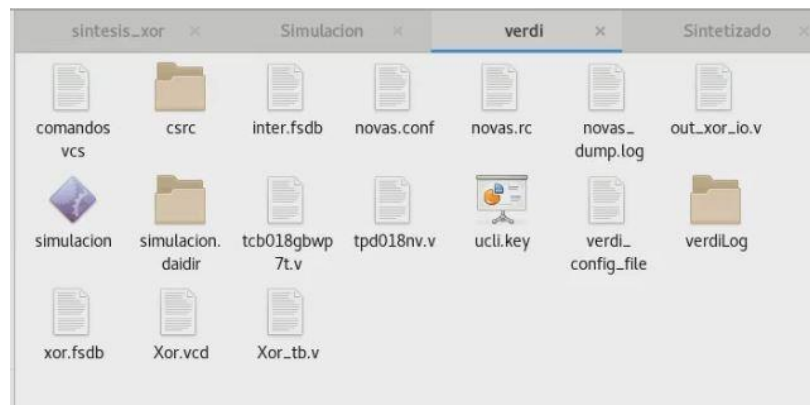


Figura 7: Archivos generados para la ejecución de Verdi

La forma mas fácil de poder mostrar las señales que tenemos descrito en el código de Verilog, se utiliza una herramienta llamada *Hierarchical flattened view* en donde nos muestra el esquemático con sus respectivas entradas y salidas.

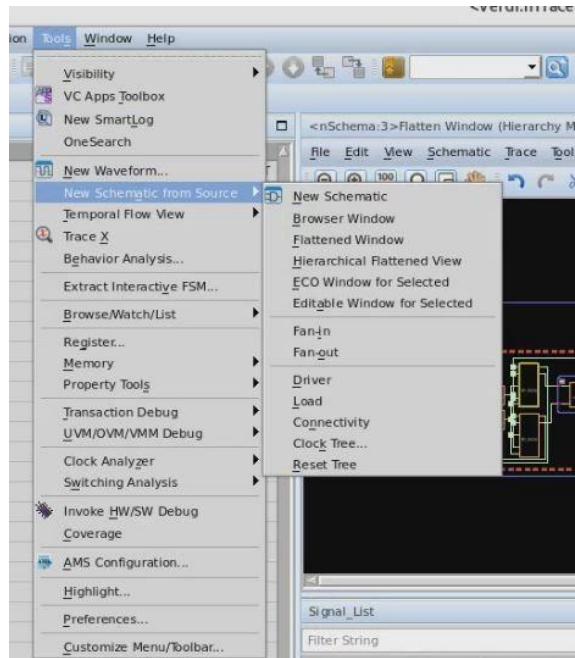


Figura 8: Hierarchical flattened view

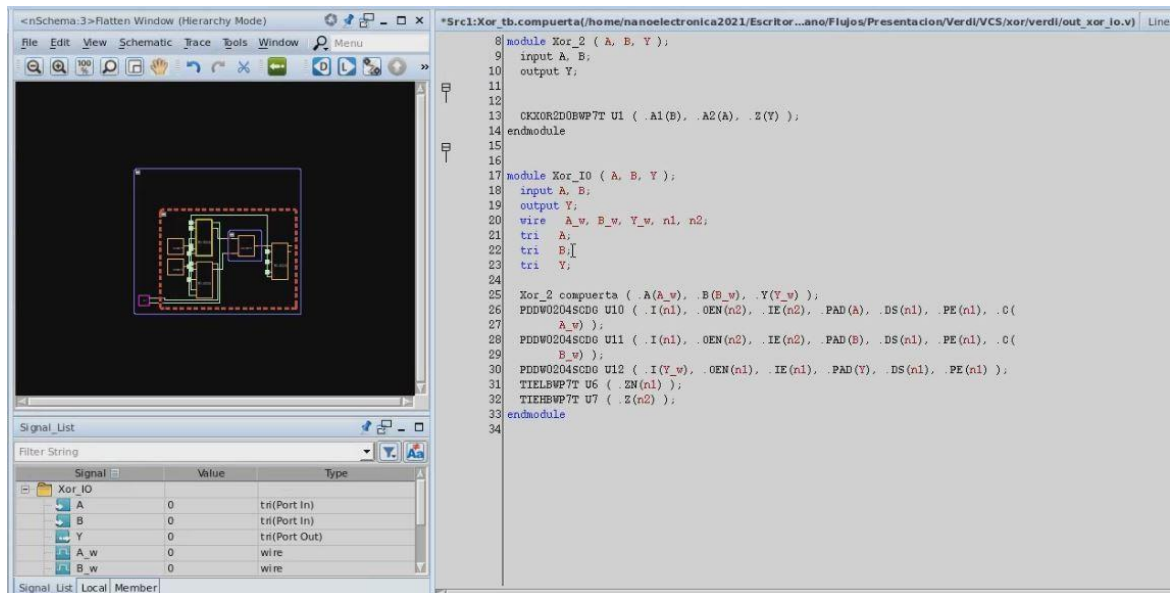


Figura 9: Menú con el esquemático y las señales para buscar errores del circuito

Al obtener las señales de la *nWave* se puede seleccionar una señal en específico (Este archivo es el .fsdb) como la que se mira el Figura 10, seleccionamos la señal que nos conviene analizar, luego seleccionamos el símbolo llamado *Auto trace* y este va a generar un esquemático donde se encuentra la señal específica, para tener una mejor visualización de la señal y poder analizar errores y solucionarlos con mayor facilidad. El *Auto trace* se encuentra subrayado en la Figura 10.

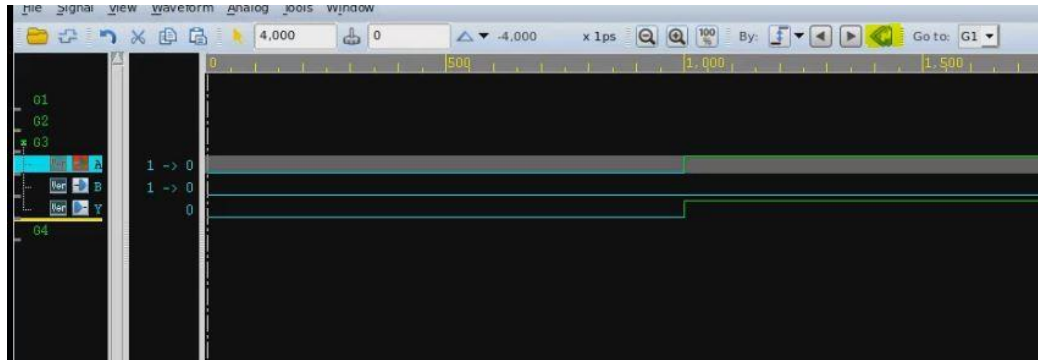


Figura 10: Selección de señal y *Auto trace*

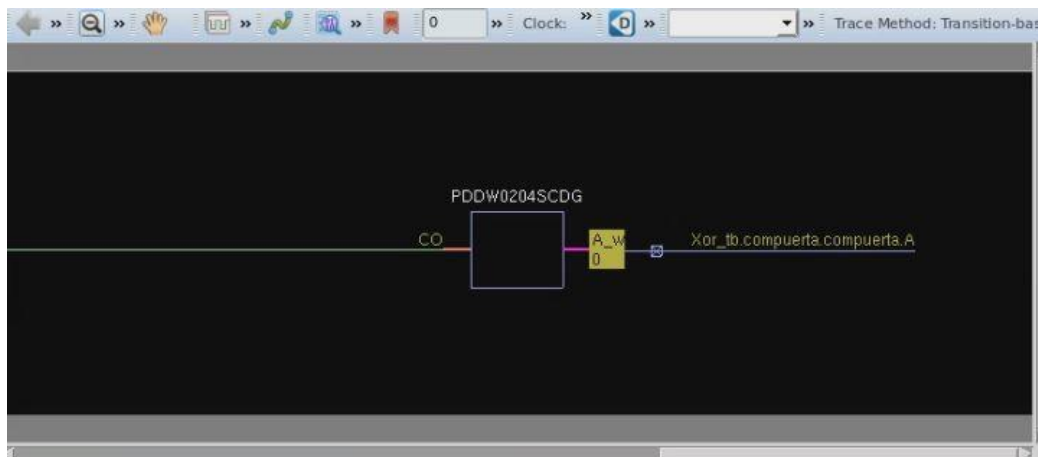


Figura 11: Esquemático generado con el *Auto trace*

Para asegurarnos del modo interactivo de Verdi le tenemos que dar correr a la simulación, para asegurarnos que estamos en el método interactivo se tiene que activar todas las siguiente opciones que se encuentran en la Figura 12.



Figura 12: Íconos generados del modo interactivo de Verdi

Para generar las simulaciones se tuvieron que señalar las señales de entrada y de salida para que sean mostradas como en las figuras 25, 29, 32, 35 y 38, para demostrar el funcionamiento del circuito tomando en cuenta el archivo .fsdb y se uso las señales de entrada y salida en su totalidad.

En las figuras que contiene los esquemáticos de cada uno de los flujos realizados se muestran un tipo de caja negra que muestra los bloques del esquemático generado por verilog, para facilitar el uso de este mismo, se encuentra dividido en 4 cuadrantes que se explican mejor con la siguiente imagen, estos comandos pueden ser utilizados al presionar el clic izquierdo encima del esquemático:

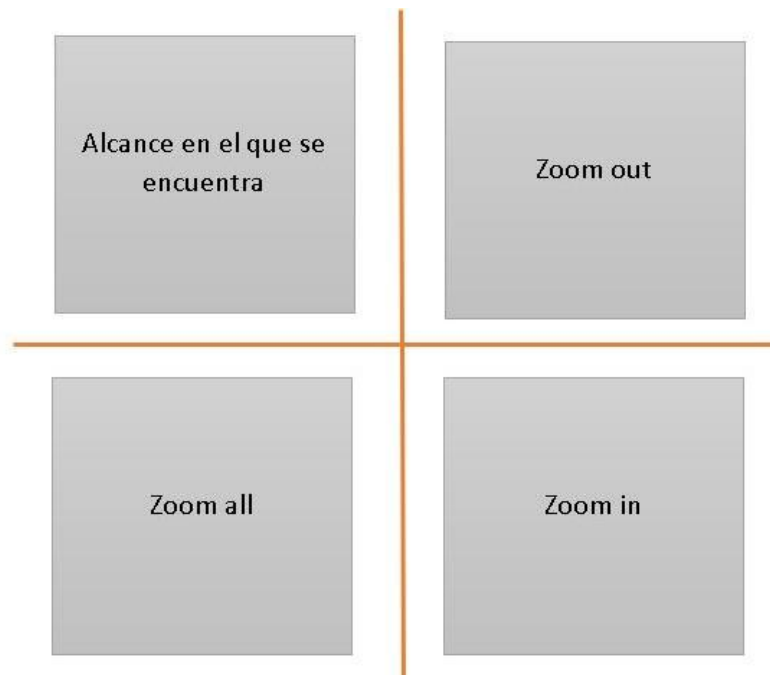


Figura 13: Interacción con el esquemático

Para encontrar una señal en específico dentro de nuestro código de verilog, podemos consultar con Verdi donde se encuentra con el fin de encontrarla en los esquemáticos que se puedan llegar a volver muy complejos y puede llegar a ser un fastidio tratar de encontrar el error por una conexión. Enseguida se muestran los siguientes pasos para dicho propósito:

Luego de seleccionar la señal deseada, nos dirigimos a *Tools*, luego a *New schematic from source* y, por último, se selecciona el *Driver*.

```
1 module fulladd( input [3:0] a,  
2                 input [3:0] b,  
3                 input c_in,  
4                 output c_out,  
5                 output [3:0] sum);  
6  
7     assign {c_out, sum} = a + b + c_in;  
8 endmodule
```

Figura 14: Selección de una variable

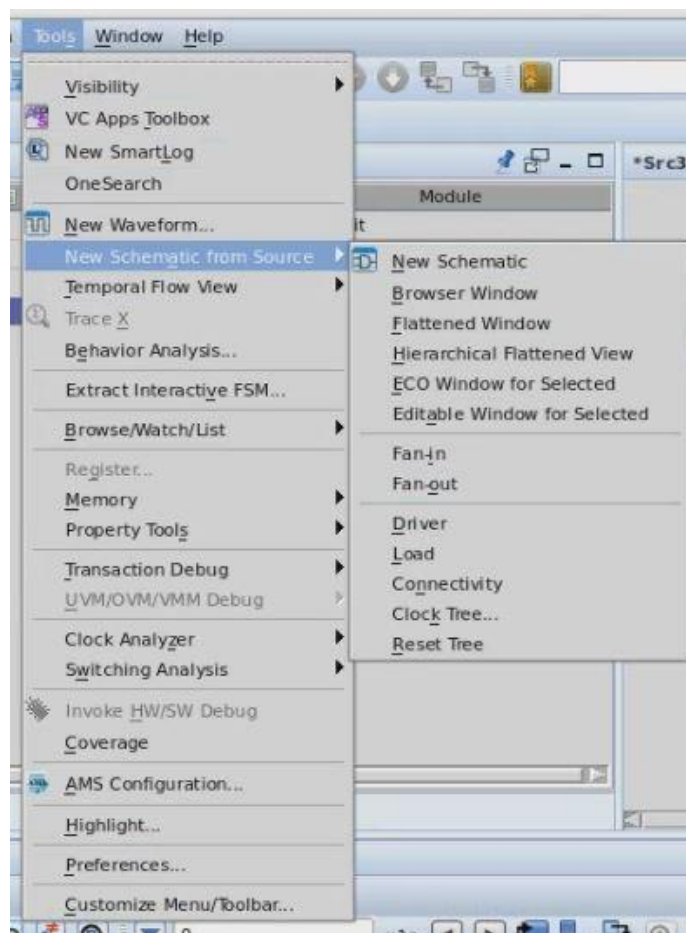


Figura 15: Selección del *Driver*

En esta imagen podemos ver donde se encuentra la variable seleccionada en nuestro código de verilog. En la Figura no.15 también se puede observar dos funciones que pueden llegar a ser útiles, las cuales son *Fan-in* y *Fan-out*, estas funciones muestran distintos tipos de esquemáticos, los cuales nos muestran lo siguiente: Para *Fan-in* nos muestra lo que es solamente la variable seleccionada y *Fan-out* muestra donde se encuentra esa variable dentro del esquemático completo.

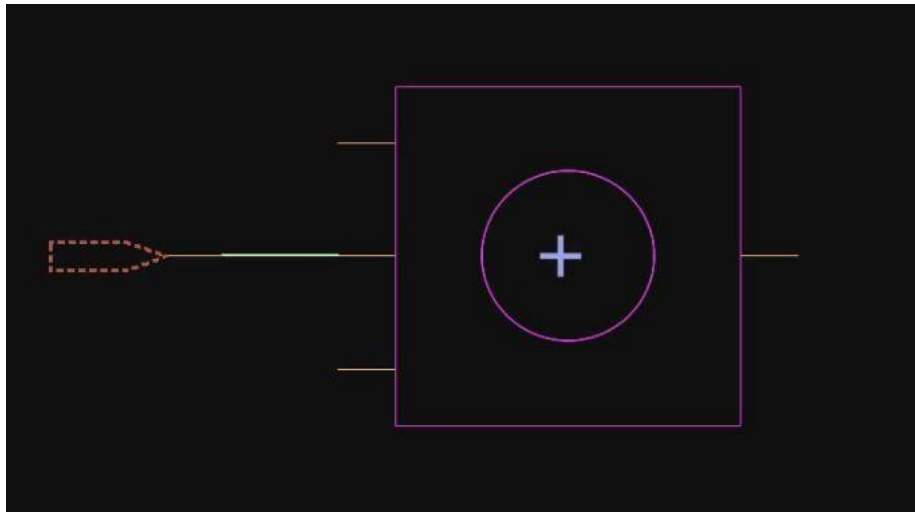


Figura 16: Representación del esquemático con el *Driver* seleccionado

Al momento de tener el esquemático se puede hacer doble clic en cada una de las figuras que se logren visualizar llevándonos al código de verilog implementado o a un nivel de capa inferior, es decir, en algunos casos los circuitos se muestran como *Black-boxes*, pero se puede ver el contenido de esa caja y como es que llega a ser interpretada por el programa.

En cambio si uno quiere encontrar cualquier cosa dentro de Verdi, se puede y hay *Tabs* para eso que se pueden encontrar en *Source* como se puede ver en la siguiente figura:

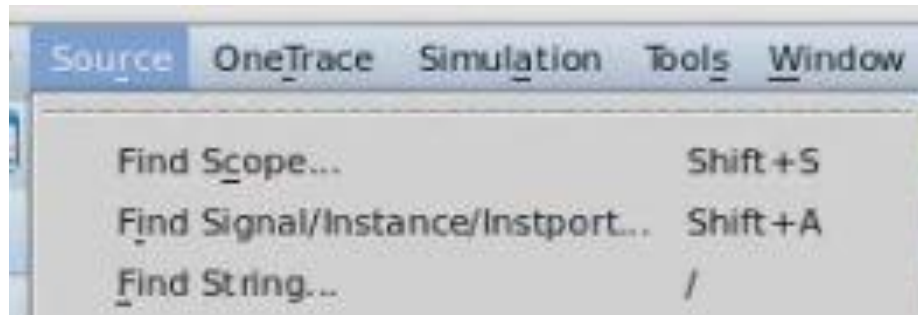


Figura 17: Buscando señales dentro de Verdi

Obteniendo esto podemos ver que nos aparecen tres distintos tipos de búsqueda, en donde uno es para encontrar lo que son los módulos, funciones, tareas y archivos dentro del verilog y que nos puede ayudar con el *Debug* del mismo, ya que al darnos un error podemos encontrarlo con facilidad y esto nos muestra la siguiente interfaz:

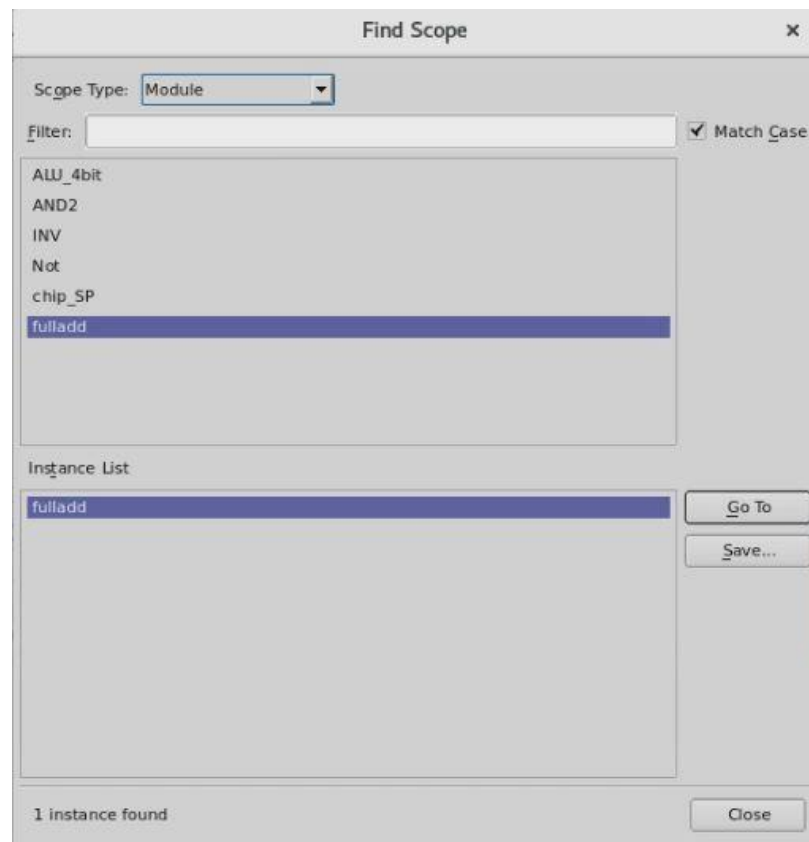


Figura 18: *Find Scope*

Para visualizar la interfaz del *Find Signal* podemos poner cualquier variable de entrada o de salida, que se encuentre en el verilog y podemos verificar con mayor facilidad, cual puede llegar a ser el problema de cierta señal.



Figura 19: *Find Signal*

cabe resaltar que tienen que estar habilitadas *Search full scope* y *Include library cell*, porque al activar estas opciones podemos buscar en todo el diseño que hemos importado en Verdi y para la otra la necesitamos al momento de trabajar en conexiones a nivel de compuerta, ya que estas normalmente estaran protegidas por *Library cell* y a veces a la hora de buscar no las encuentra, porque Verdi no las buscara por *Default*.

Para poder buscar un *String* dentro del código que hemos importado al programa de Verdi, nos vamos a la sección de *OneSearch*, en esta sección podemos buscar lo que sea que este dentro de nuestro código, por ejemplo un error que no se encuentra por la complejidad que pueda tener el código de verilog, por lo tanto para lograr buscar la palabra debe de estar acompañada de asteriscos. Esto se puede mostrar en la siguiente imagen.

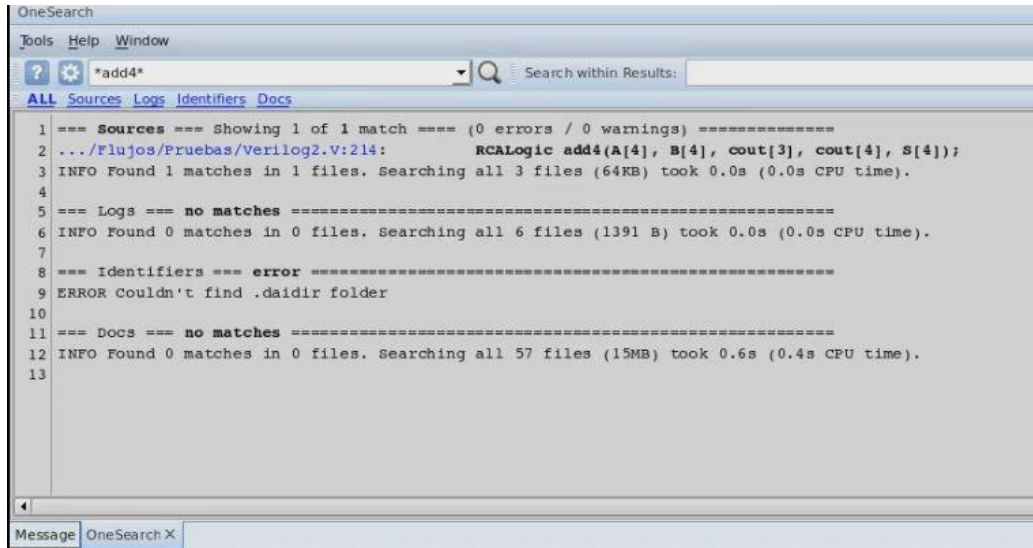


Figura 20: *OneSearch*

Al realizar este proceso en una señal del código, se puede dejar un rastro del *Driver* que asignamos a la pestaña de *OneTrace*, dando clic en la pestaña de *Message* que se encuentra en la Figura 20.

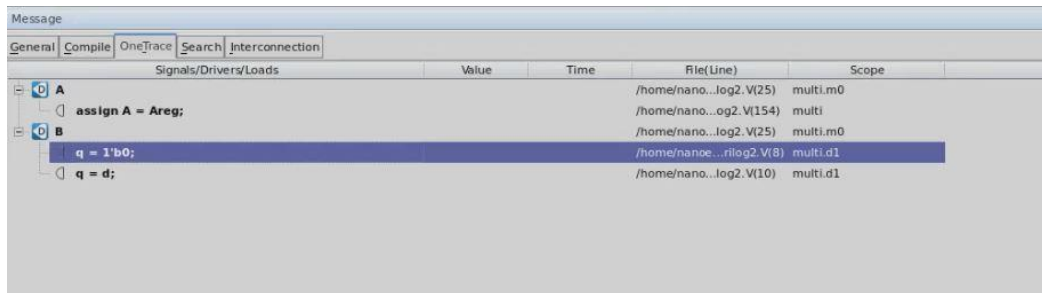


Figura 21: *OneTrace*

En este caso, buscamos dos señales de entrada que son A y B. En esta pestaña se van a encontrar todos los resultados de los *Driver*. Al buscar una señal en específico que se encuentre dentro de un ciclo o este en otra jerarquía, podemos cargar todos esos valores en la pestaña de *OneTrace* desde el icono de *Load*.



Figura 22: *Driver and Load*

7.1. Generación de la verificación del funcionamiento de una Not en Verdi

En esta sección se pretende mostrar el uso de la interfaz gráfica, para la generación de resultados que se van a mostrar en los flujos de los distintos circuitos.

Entonces para comenzar, iniciamos Verdi en una terminal con el comando **Verdi -sx**, al iniciar va a abrir la interfaz gráfica de la herramienta y como primer paso : Buscamos el archivo Verilog en la pestaña de **File**. Al abrir esa pestaña nos aparece una opción **Import Design** y nos va a mostrar lo siguiente:

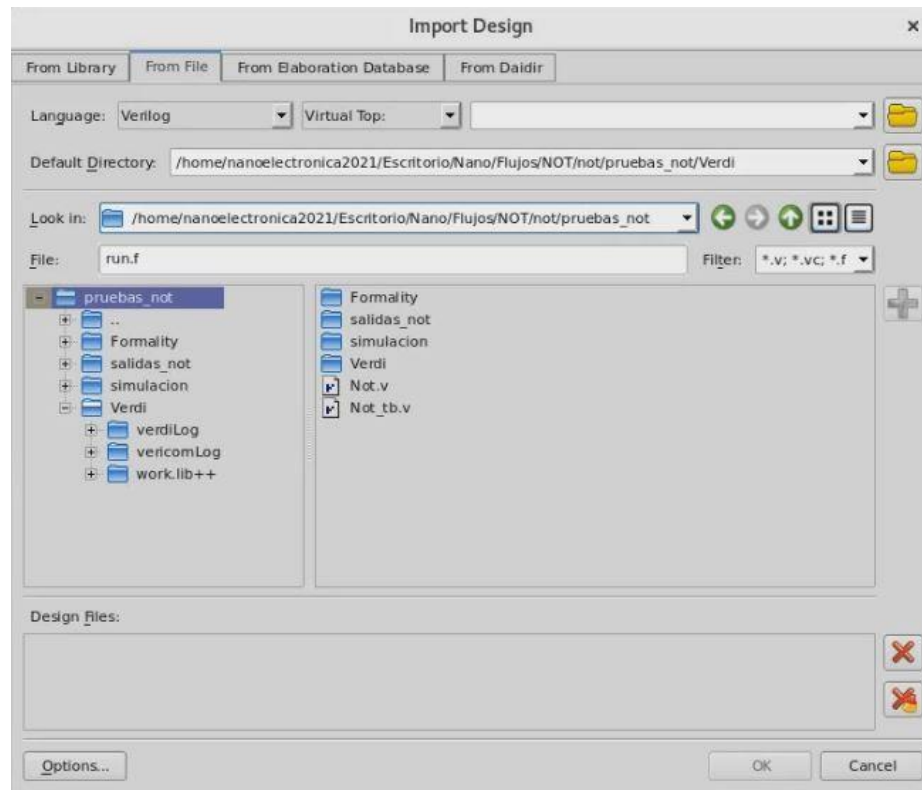


Figura 23: Importando un diseño en Verdi

Al ver la Figura 23, seleccionamos el archivo correspondiente y se le da click derecho en el símbolo de + para agregar el archivo y luego dar click en el botón de *ok*.

Al subir el archivo nos mostrara tres cosas: Las instancias, el Verilog (Para realizar modificaciones) y una sección de mensajes para ver si el archivo se cargó correctamente (Se muestra en la sección de los flujos), mostrando errores y precauciones que pueda tener el archivo.

Después se procede a abrir una *Wave Form* en la barra de herramienta que proporciona Verdi y se puede ver en la Figura 25. Dentro de la pequeña interfaz llama *nWave*, buscamos en **File** y después en **Open** y buscamos el archivo .fsdb. El archivo .fsdb es un archivo generado con las herramientas de VCS, agregando **-fsdb** en la parte comprobaciones y verificaciones de la síntesis lógica y en el **Test bench** agregando el comando **\$fsdbDumpfile(not.fsdb)**

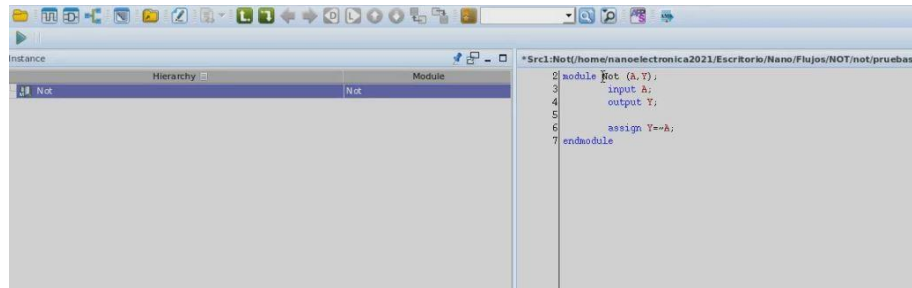


Figura 24: Interfaz gráfica con el archivo Verilog cargado a Verdi

y ahí se va agregando la señal de prueba para que Verdi ya pueda detectarla y la podamos analizar.



Figura 25: Wave Form con el archivo .fsdb

Después de agregar el archivo.fsdb se muestra la Figura 25. Para seguir con el flujo nos vamos a la pestaña de **Signal**, luego en la parte que dice **Get Signals** y aparecerá una interfaz que me permite seleccionar las señales del circuito que quiero ver como se están comportando como se muestra en la Figura 26.

Con esto ya obtenemos los resultados de la compuerta como se muestra en la Figura 29.

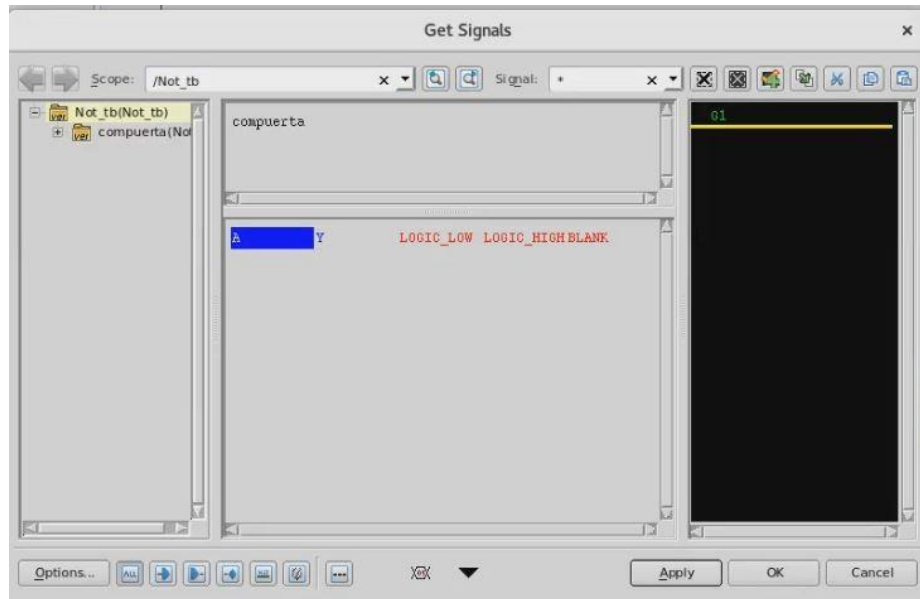


Figura 26: Seleccionando las señales que quiero mostrar en mi simulación

7.2. Flujos de circuitos con una complejidad baja

7.2.1. Flujo de una compuerta NOT

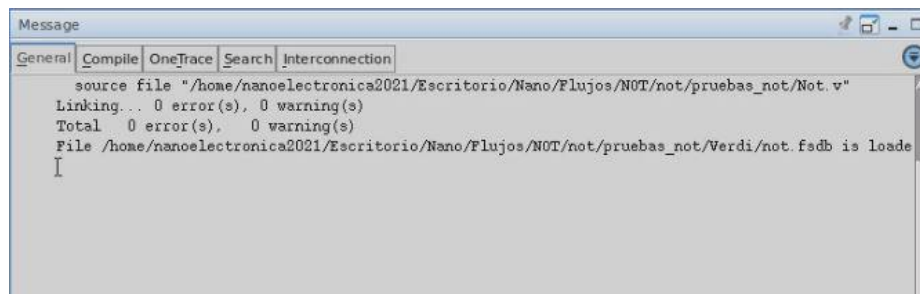


Figura 27: Resultados del análisis de una compuerta NOT (VERDI)

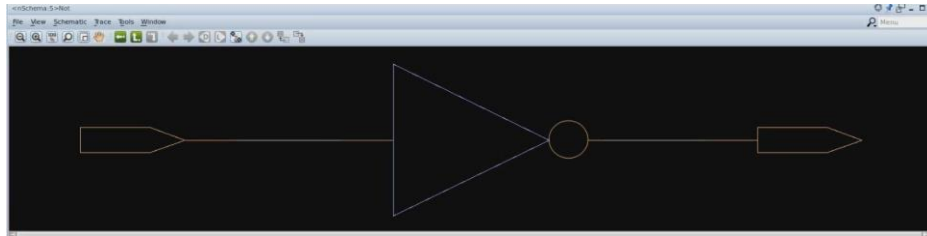


Figura 28: Esquemático de la compuerta NOT (VERDI)

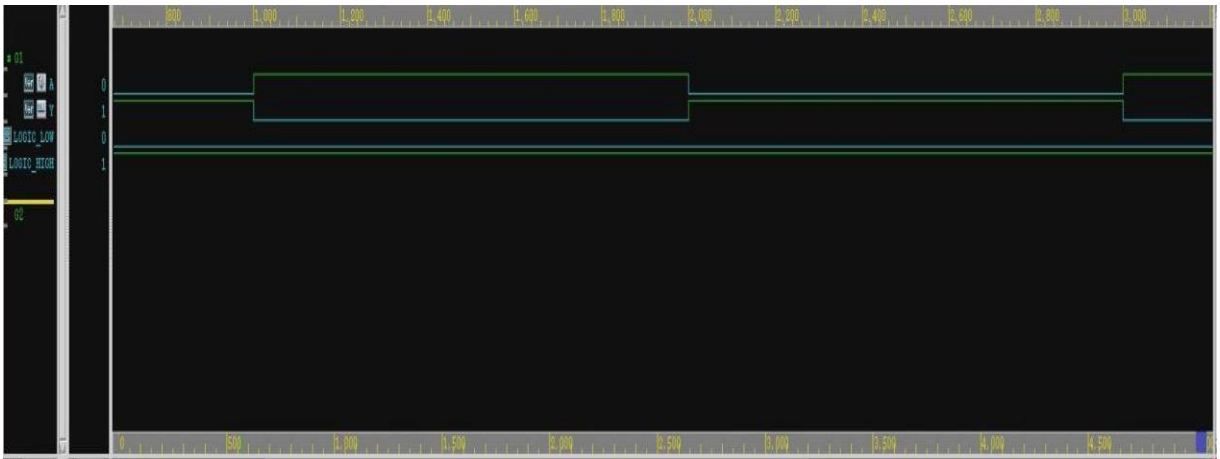


Figura 29: Simulación generada con el archivo .fsdb mostrando señales de entrada y salida de una not (VERDI)

7.2.2. Flujo de una compuerta XOR

```

Message
General Compile OneTrace Search Interconnection
Analyzing...
  source file "/home/nanoelectronica2021/Escritorio/Nano/Flujos/XOR/sintesis_xor/Xor.v"
Linking... 0 error(s), 0 warning(s)
Total 0 error(s), 0 warning(s)
  
```

Figura 30: Resultados del análisis de una compuerta XOR (VERDI)

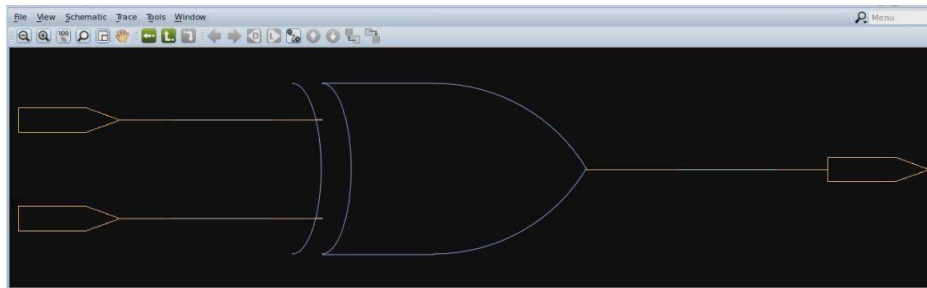


Figura 31: Esquemático de la compuerta XOR (VERDI)

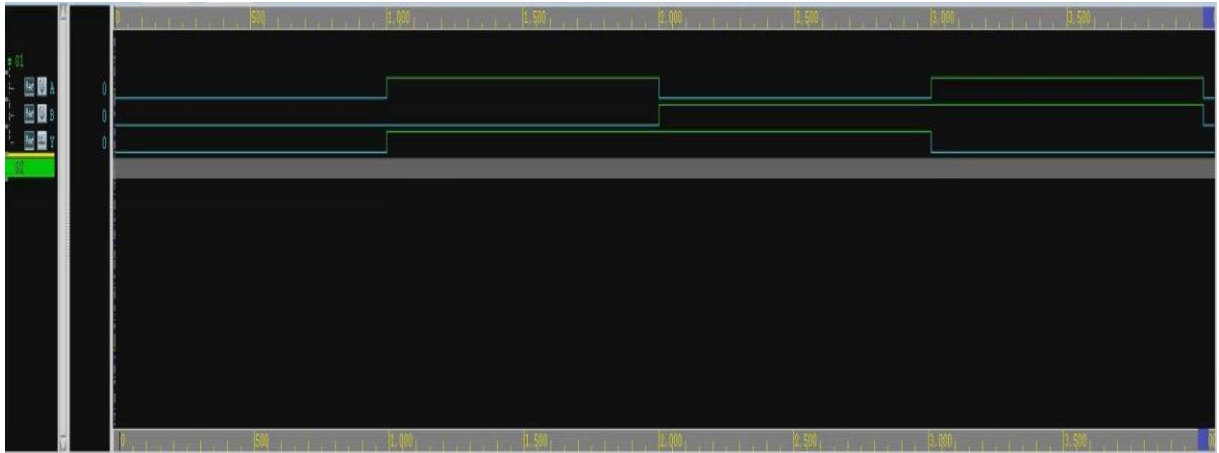


Figura 32: Simulación generada con el archivo .fsdb mostrando señales de entrada y salida de una XOR (VERDI)

7.3. Flujos de circuitos con una complejidad media

7.3.1. Flujo de un *Full adder*

En este flujo se realizó un sumador, representando un circuito digital que va adicionando números, es decir una suma con la lógica binaria. Podemos ver como se está realizando el proceso en un lapso de tiempo y miramos como están actuando las entradas y las salidas del circuito. En la figura 35 se muestra como están actuando cada una de las variables que se necesitan para la realización de un *full adder*.

```

Message
General Compile OneTrace Search Interconnection
Analyzing...
source file "/home/nanoelectronica2021/Escritorio/Nano/Flujos/Full_adder/Sintesis_cell/fulladder.v"
Linking... 0 error(s), 0 warning(s)
Total 0 error(s), 0 warning(s)

```

Figura 33: Resultados del análisis de un *Full adder* (VERDI)

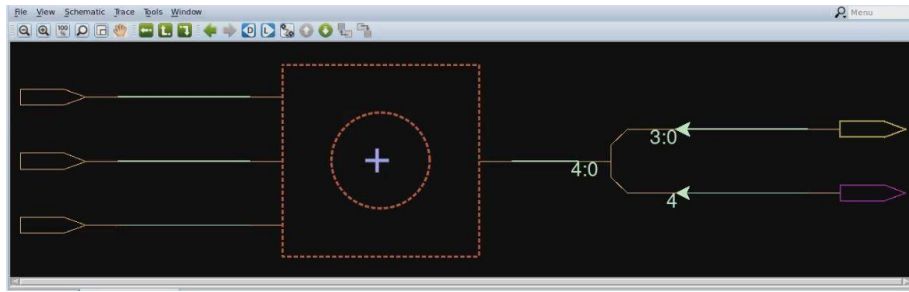


Figura 34: Esquemático de un *Full adder* (VERDI)

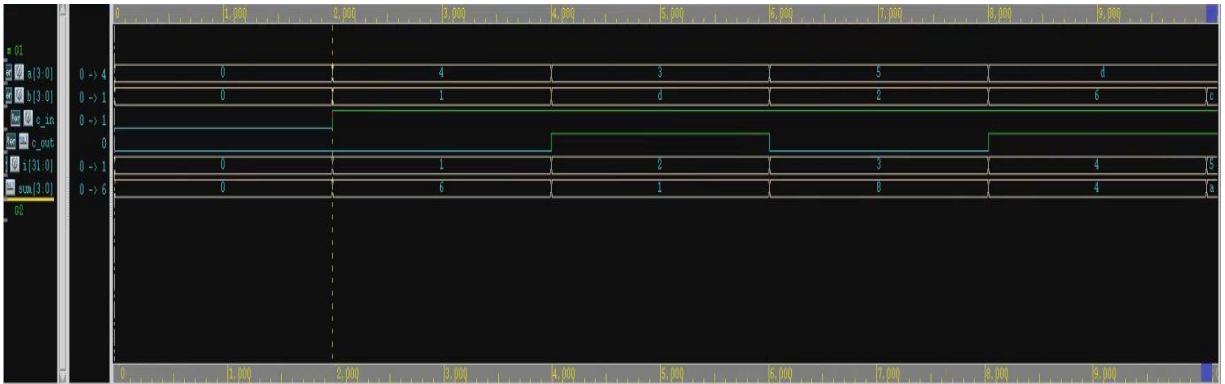


Figura 35: Simulación generada con el archivo .fsdb mostrando señales de entrada y salida de un *Full adder* (VERDI)

7.3.2. Flujo de una ALU de 4 bits

En este flujo podemos ver que se está realizando un proceso aritmético que muestra la suma entre el 8 y el 7. Como resultado lo podemos ver en sistema hexadecimal, el cual es "f" que representa el 15. El resultado muestra el correcto funcionamiento de este flujo, además de no dar errores en la simulación.

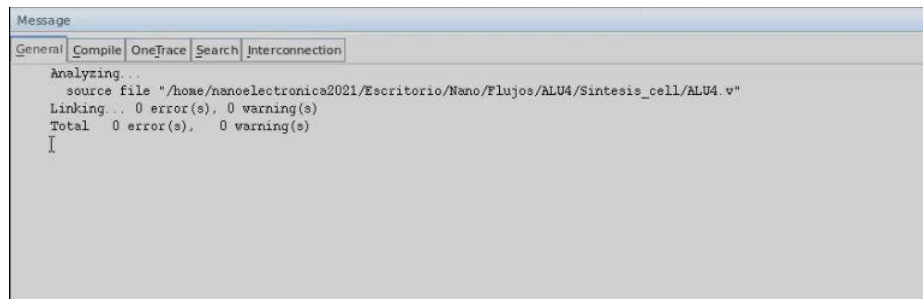


Figura 36: Resultados del análisis de una ALU de 4 bits (VERDI)

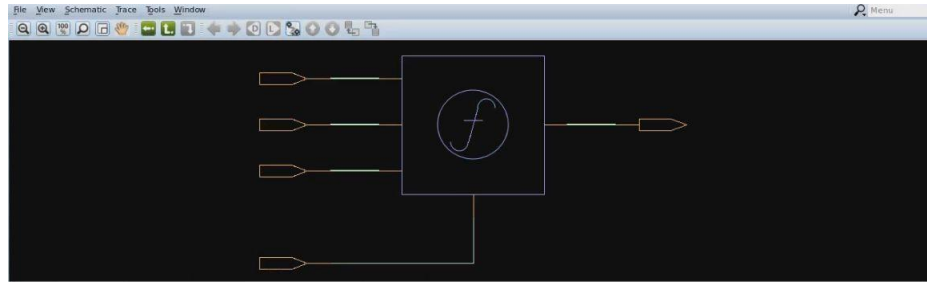


Figura 37: Esquemático de una ALU de 4 bits (VERDI)

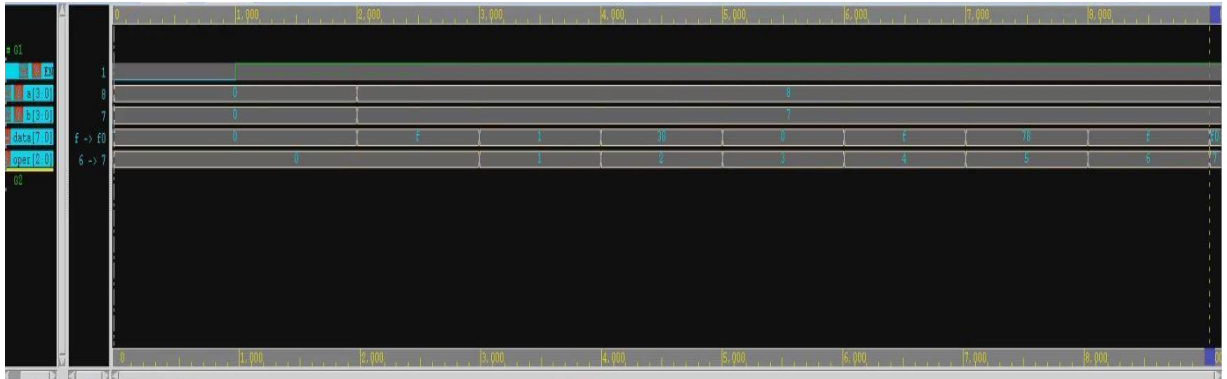


Figura 38: Simulación generada con el archivo .fsdb mostrando señales de entrada y salida de una ALU de 4 bits (VERDI)

7.4. Flujos de circuitos con una complejidad alta

7.4.1. Flujo de un contador de 4 bits

```

Message
General Compile OneTrace Search Interconnection
Analyzing...
source file "/home/nanoelectronica2021/Escritorio/Nano/Flujos/Counter4B/Sintesis_cell/counter4.v"
Linking... 0 error(s), 0 warning(s)
Total 0 error(s), 0 warning(s)

```

Figura 39: Resultados del análisis de un contador de 4 bits (VERDI)

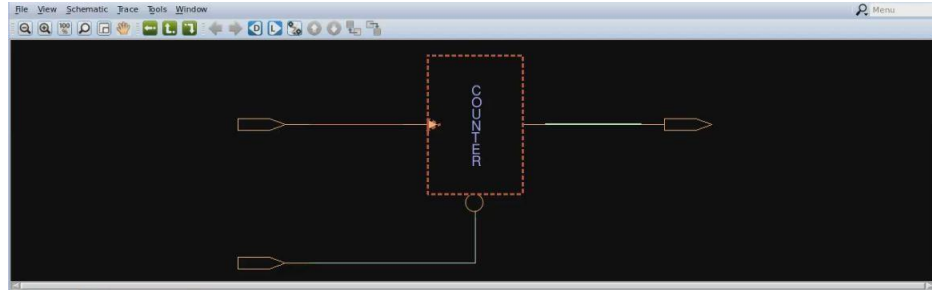


Figura 40: Esquemático de un contador de 4 bits (VERDI)

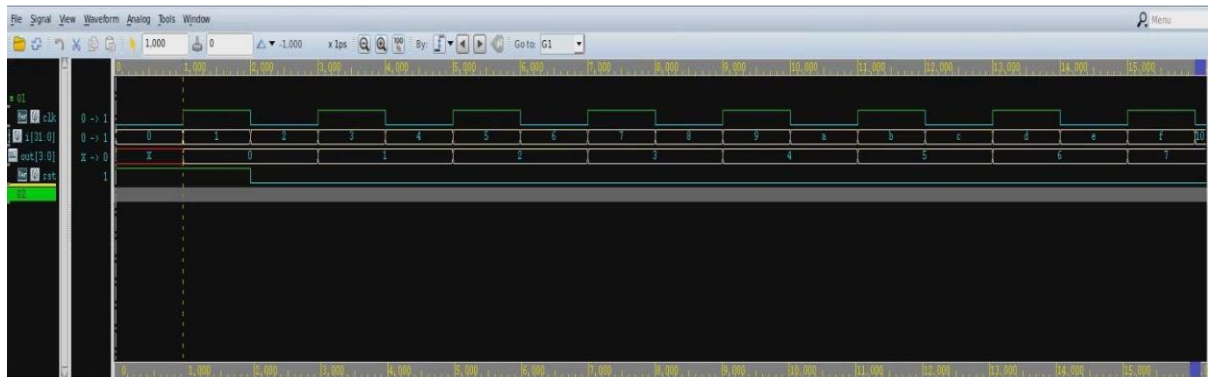


Figura 41: Simulación generada con el archivo .fsdb mostrando señales de entrada y salida de un contador de 4 bits (VERDI)

8.1. Generación de la verificación del funcionamiento de una Not en Formality

Para la generación del flujo de una compuerta Not en Formality, se utilizó el comando *formality* en una terminal, la cual nos va a mostrar la interfaz gráfica de Formality. En la interfaz el primer paso a realizar es el de subir el archivo de Verilog. En el botón de Verilog se busca el .v y al agregarlo pasamos a ponerlo como *Set to top*.

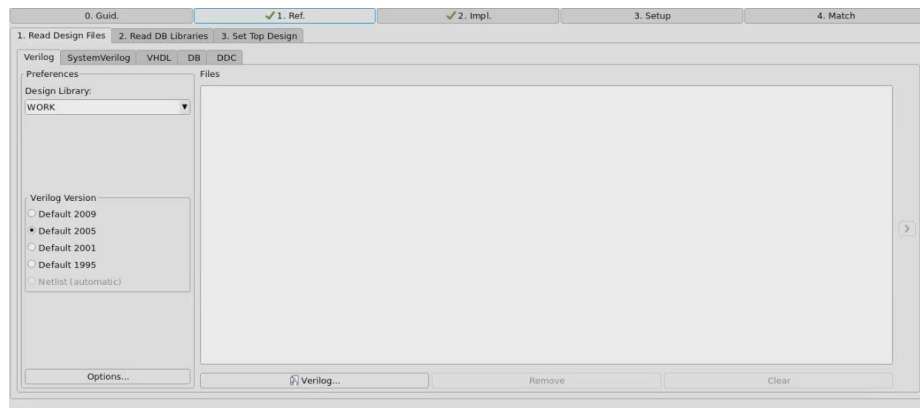


Figura 42: Interfaz de formality en *Reference*

Al encontrar el archivo de Verilog se va a la pestaña *Set top design* y va a aparecer esta interfaz como en la Figura 43. Con esta parte es suficiente darle al botón de *Set top*.

Al realizar los pasos se debería de ver *reference* con un cheque verde que indica que el circuito fue compilado por la plataforma. Ahora procederemos a hacer que la parte de

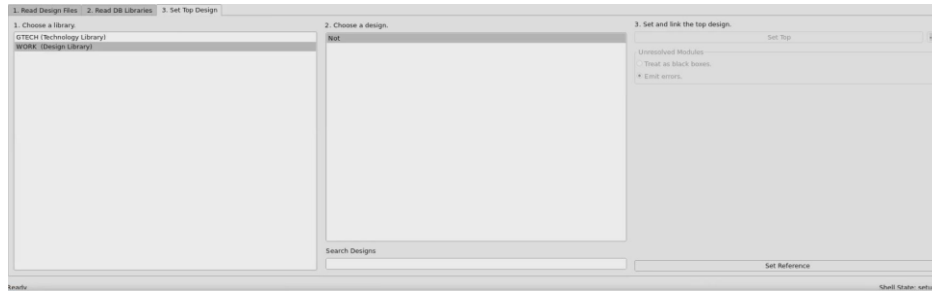


Figura 43: Set top design

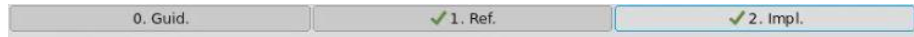


Figura 44: Pestañas de Formality

implement salga con un cheque. Primero pasamos a la pestaña de *implement* y realizamos el mismo proceso que se utilizó para subir el archivo de Verilog, pero ahora vamos a subir el archivo del circuito sintetizado que también debe ser un *.v* en la parte de *Read Design Files*. Al subir el archivo pasamos a *Read DB Libraries* para subir las librerías de TSMC con terminación *.db* a Formality.



Figura 45: Importando las librerías con terminación *.db*

En la figura en el botón que dice DB, es donde se cargan los archivos y se adjuntan por medio de la flecha que aparece ahí, con el fin de cargarlos al flujo.

En la Figura 46, ya muestra las librerías y seleccionamos la Not. Al tener esto ya podemos buscar el botón *Set top* y tendríamos la pestaña de *implement* con el cheque respectivo. Luego nos vamos a las pestañas de *Match* y *Verify*, con esto ya podemos ver si la verificación resulto exitosa como se muestra en la Figura 47.

Al tener la verificación exitosa podemos visualizar varias cosas en la pestaña de *Debug*, las opciones que tenemos para visualizar son las que se muestran en la Figura 48.



Figura 46: Cargando el circuito sintetizado

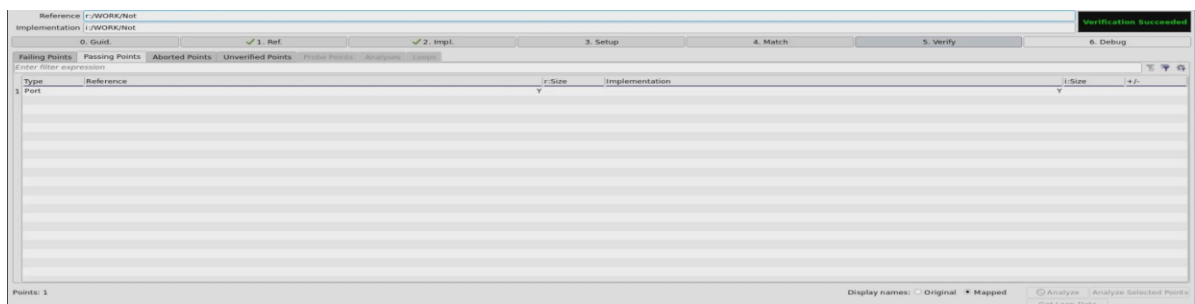


Figura 47: Verificación exitosa

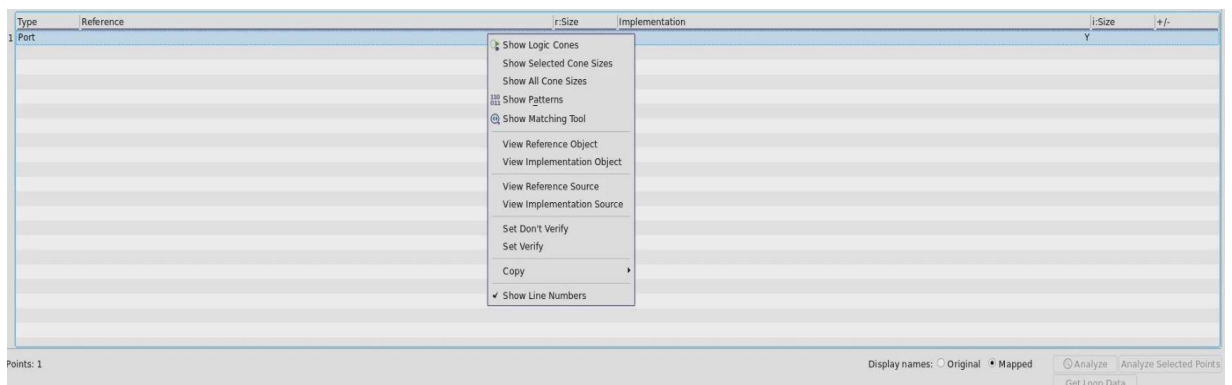


Figura 48: Verificación exitosa

8.2. Flujos de circuitos con una complejidad baja

8.2.1. Flujo de una compuerta NOT

Este flujo propuesto por una simple NOT, fue con el fin de poder validar el flujo con una complejidad baja y después realizar flujos mas complejos aprendiendo poco a poco de las herramientas que fueron propuestas. Los resultado se logran mostrar en las figuras 49 y 50, en este tipo de archivos al realizar la verificación se puede llegar a obtener inconsistencias, una verificación falsa de resultados y una verificación exitosa. Al comparar los puntos del archivo de verilog normal y la sintetizada muestra resultados correctos.

```
***** Matching Results *****
1 Compare points matched by name
0 Compare points matched by signature analysis
0 Compare points matched by topology
1 Matched primary inputs, black-box outputs
0(0) Unmatched reference(implementation) compare points
0(0) Unmatched reference(implementation) primary inputs, black-box outputs
*****
Status: Verifying...
```

Figura 49: Resultados de los *Matching Points* de una compuerta not

Al ser un circuito tan simple realmente no mostró muchos problemas, ya que no tiene muchos puntos para comparar

```
***** Verification Results *****
Verification SUCCEEDED
-----
Reference design: r:/WORK/Not
Implementation design: i:/WORK/Not
1 Passing compare points
-----
Matched Compare Points      BBPin   Loop   BBNet   Cut   Port   DFF   LAT   TOTAL
-----
Passing (equivalent)        0       0     0       0     1     0     0     1
Failing (not equivalent)    0       0     0       0     0     0     0     0
*****
1
```

Figura 50: Resultados de la verificación de una compuerta not

En el esquemático que se muestra en la Figura 40 se puede ver que se están comparando dos distintos circuitos, en este caso se muestra el circuito normal descrito en hardware sin pasar por ningún proceso y el otro circuito mostrando la Not sintetizada.

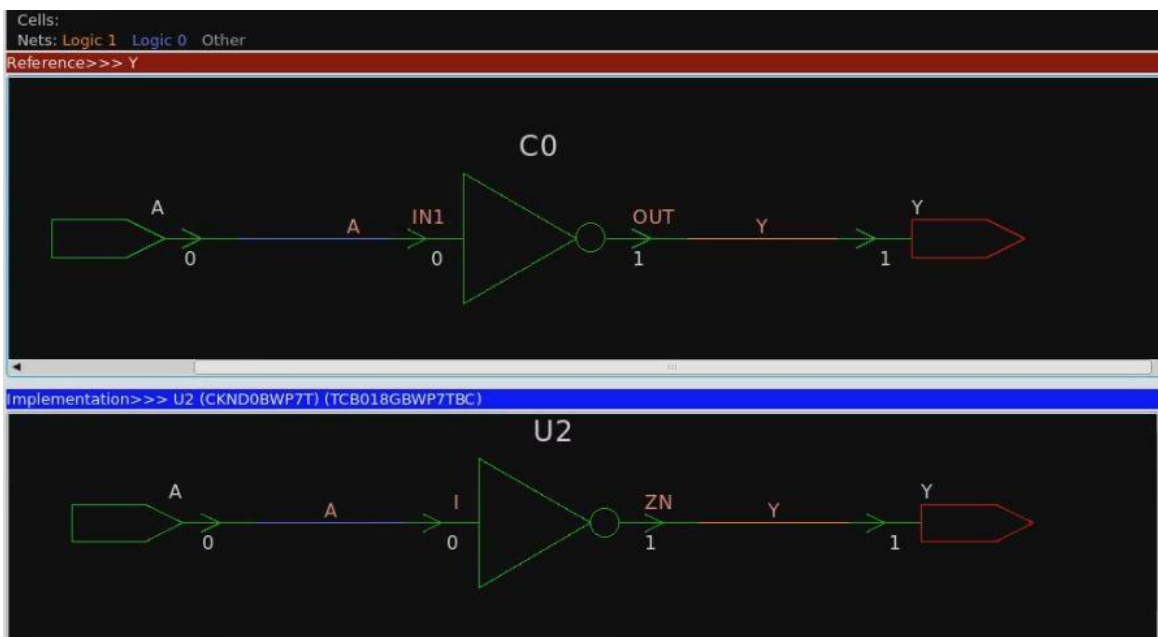


Figura 51: Esquemático del circuito de referencia vs el circuito sintetizado de una compuerta not

8.2.2. Flujo de una compuerta XOR

Este flujo es muy parecido al de la Not, ya que prácticamente lo único que cambia es el número de entradas de la compuerta. Lo interesante de realizar esta compuerta de baja complejidad es comprobar con otro ejemplo si el flujo que estamos realizando es el adecuado.

```
***** Matching Results *****
*****
1 Compare points matched by name
0 Compare points matched by signature analysis
0 Compare points matched by topology
2 Matched primary inputs, black-box outputs
0(0) Unmatched reference(implementation) compare points
0(0) Unmatched reference(implementation) primary inputs, black-box outputs
*****
*****
```

Figura 52: Resultados de los *Matching Points* de una compuerta Xor

A la hora de comparar puntos se puede ver la pequeña diferencia que tiene con respecto al flujo de la compuerta NOT, la cual es los *Matched primary points*, en la compuerta Not se puede visualizar en que solo muestra uno, en este caso muestra dos por las entradas de la XOR, como muestra la Figura no.52.

```
***** Verification Results *****
Verification SUCCEEDED
-----
Reference design: r:/WORK/Xor_2
Implementation design: i:/WORK/Xor_2
1 Passing compare points
-----
Matched Compare Points   BBPin   Loop   BBNet   Cut   Port   DFF   LAT   TOTAL
-----
Passing (equivalent)      0       0     0       0     1     0     0     1
Failing (not equivalent)  0       0     0       0     0     0     0     0
*****
1
```

Figura 53: Resultados de la verificación de una compuerta xor

En el esquemático que se encuentra en la Figura 54 se muestra con un poco más de complejidad y además la compuerta que se muestra es la de un XOR, la cual detecto Formality basado en el archivo de Verilog, el cual describe hardware. Además, se aprecia en la figura que uno de los circuitos lo toma como referencia y el otro es el que se encuentra sintetizado.

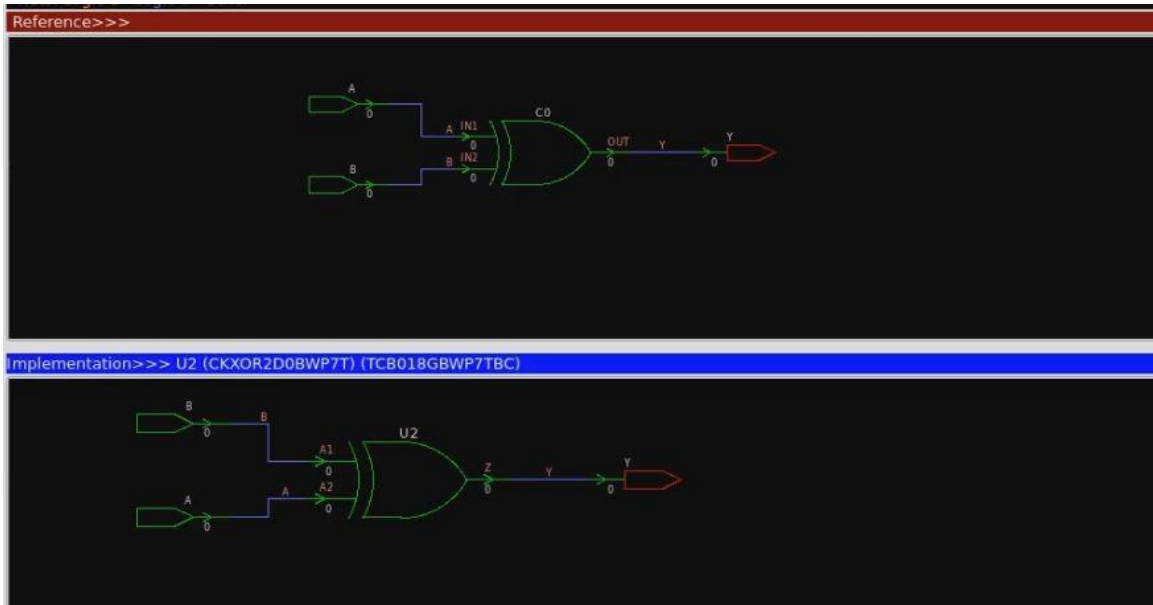


Figura 54: Esquemático del circuito de referencia vs el circuito sintetizado de una compuerta xor

Cabe resaltar que los circuitos de poca complejidad no son muy ilustrativos y tampoco representan una gran cantidad de resultados.

8.3. Flujos de circuitos con una complejidad media

8.3.1. Flujo de un *Full adder*

En el flujo propuesto de complejidad media se realizó un *full-adder*, en donde se realizaron equivalencias del circuito construido desde un verilog y del circuito sintetizado. Al ver el verilog podemos deducir que no es un circuito que maneje una complejidad alta, al momento de sintetizar se van mostrando lo que generan las librerías de TSMC y en este caso se puede ver que las librerías generan los *pads*, las cuales Formality ya analiza.

```

***** Matching Results *****
5 Compare points matched by name
0 Compare points matched by signature analysis
0 Compare points matched by topology
9 Matched primary inputs, black-box outputs
0(0) Unmatched reference(implementation) compare points
0(0) Unmatched reference(implementation) primary inputs, black-box outputs
*****
1

```

Figura 55: Resultados de los *Matching Points* del *full adder*

En el momento de comparar puntos se logran ver más puntos respecto a los que se encuentran en los circuitos de complejidad baja y la cantidad de entradas y salidas que nos permiten ver un poco más el uso de esta herramienta.

```

***** Verification Results *****
Verification SUCCEEDED
-----
Reference design: r:/WORK/fulladd
Implementation design: i:/WORK/fulladd
5 Passing compare points
-----
Matched Compare Points      BBPin   Loop   BBNet   Cut   Port   DFF   LAT   TOTAL
-----
Passing (equivalent)       0       0     0       0     5     0     0     5
Failing (not equivalent)   0       0     0       0     0     0     0     0
*****
1

```

Figura 56: Resultados de la verificación del *full adder*

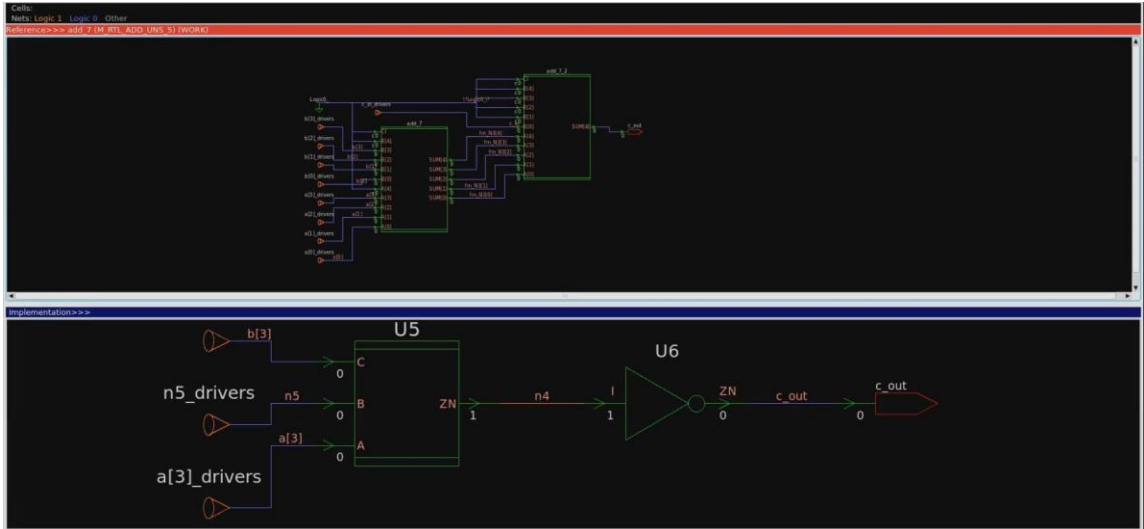


Figura 57: Esquemático del circuito de referencia vs el circuito sintetizado del *full adder*

En el circuito podemos ver la gran diferencia que se encuentra el circuito normal con el sintetizado y se puede ver que esta herramienta, procura ver los puntos del circuito para comprobar que el circuito sintetizado no tenga ninguna inconsistencia. En estos tipos de flujo, logramos adentrarnos un poco más al funcionamiento del circuito en la parte posterior de la verificación, la cual se llama *debug* en esta parte podemos ver los conos lógicos y el tamaño de estos, en los diferentes puertos que da el circuito.

8.3.2. Flujo de una ALU de 4 bits

Este es un circuito mas complejo que un full adder, con la verificación formal de este circuito podemos ver que la cantidad de *pads* que va generando el proceso de síntesis comienza a ser un problema, ya que todas estas de líneas generadas, a la hora de comparar pueden llegar a tener una inconsistencia que puede llegar a afectar en el proceso de síntesis física.

```
***** Matching Results *****
8 Compare points matched by name
0 Compare points matched by signature analysis
0 Compare points matched by topology
12 Matched primary inputs, black-box outputs
0(0) Unmatched reference(implementation) compare points
0(0) Unmatched reference(implementation) primary inputs, black-box outputs
*****
Status: Verifying...
```

Figura 58: Resultados de los *Matching Points* de la ALU de 4 bits

```
***** Verification Results *****
Verification SUCCEEDED
-----
Reference design: r:/WORK/ALU_4bit
Implementation design: i:/WORK/ALU_4bit
8 Passing compare points
-----
Matched Compare Points      BBPin   Loop   BBNet   Cut   Port   DFF   LAT   TOTAL
-----
Passing (equivalent)         0       0     0       0     8     0     0     8
Failing (not equivalent)     0       0     0       0     0     0     0     0
-----
1
```

Figura 59: Resultados de la verificación de la ALU de 4 bits

Type	Reference	r-Size	Implementation	i-Size	+/
1 Port		data[0] 193		data[0] 155	
2 Port		data[1] 237		data[1] 149	
3 Port		data[2] 281		data[2] 192	
4 Port		data[3] 325		data[3] 243	
5 Port		data[4] 365		data[4] 255	
6 Port		data[5] 373		data[5] 275	
7 Port		data[6] 410		data[6] 258	
8 Port		data[7] 447		data[7] 128	

Figura 60: Listado de los puntos que pasaron la prueba

En el listado de puntos podemos ver que el proceso se comienza a complicar en la parte de *debug*, aunque en este caso no se llego a encontrar ninguna inconsistencia, pero se logra ver el trabajo que esta realizando formality con las librerías de TSMC.

8.4. Flujos de circuitos con una complejidad alta

8.4.1. Flujo de un contador de 4 bits

Lo que hace que este circuito sea considerado de complejidad alta, es porque es considerado un circuito secuencial, por lo que la salida no depende solo de sus entradas, sino que lleva un registro del historial de los valores que fue tomando de entradas anteriores.

```
***** Matching Results *****
8 Compare points matched by name
0 Compare points matched by signature analysis
0 Compare points matched by topology
2 Matched primary inputs, black-box outputs
0(0) Unmatched reference(implementation) compare points
0(0) Unmatched reference(implementation) primary inputs, black-box outputs
*****
Status: Verifying...
```

Figura 61: Resultados de los Matching Points de un contador de 4 bits

```
***** Verification Results *****
Verification SUCCEEDED
-----
Reference design: r:/WORK/counter4
Implementation design: i:/WORK/counter4
8 Passing compare points
-----
Matched Compare Points   BBPin   Loop   BBNet   Cut   Port   DFF   LAT   TOTAL
-----
Passing (equivalent)      0       0     0       0     4     4     0     8
Failing (not equivalent)  0       0     0       0     0     0     0     0
*****
1
```

Figura 62: Resultados de la verificación de un contador de 4 bits

Type	Reference	r-Size	Implementation	i-Size	+/-
1 DFF		out_reg[0] 25		out_reg[0] 16	
2 DFF		out_reg[1] 32		out_reg[1] 16	
3 DFF		out_reg[2] 39		out_reg[2] 22	
4 DFF		out_reg[3] 46		out_reg[3] 39	
5 Port		out[0] 1		out[0] 2	
6 Port		out[1] 1		out[1] 2	
7 Port		out[2] 1		out[2] 2	
8 Port		out[3] 1		out[3] 2	

Figura 63: Listado de los puntos que pasaron la prueba

En las figuras 62 y 63, podemos ver que existe una diferencia respecto a los flujos anteriores y es que aquí muestra algo diferente a lo que son los puertos, lo que es DFF son los registros del contador de 4 bits.

Al usar StarRC se genera un netlist con un archivo `.(spf)` en donde nos enseña los parásitos que tiene el circuito y al tener este netlist nos permite usar la herramienta de WaveView que se puede utilizar usando el comando `wv &`, y al utilizar el comando muestra un software en donde podemos visualizar el comportamiento que tiene las entradas y salidas del circuito implementado.

9.1. Simulación del diseño a nivel de HSPICE

9.1.1. Netlist de la compuerta NOT

```

*|DSPF 1.3
*|DESIGN Not_IO
*|DATE "Thu Sep 23 14:07:38 2021"
*|VENDOR "Synopsys"
*|PROGRAM "StarRC"
*|VERSION R-2020.09-SP3"
*|DIVIDER |
*|DELIMITER :
**FORMAT SPF
** COMMENTS
** OPERATING_TEMPERATURE 25
** DENSITY_OUTSIDE_BLOCK 0
** GLOBAL_TEMPERATURE 25
** TCAD_GRD_FILE ../../../../cm018g_1p6m_4x1u_mim5_40k_cbest.nxtgrd
** TCAD_TIME_STAMP Tue Apr 23 22:51:06 2019
** TCADGRD_VERSION 62
.SUBCKT Not_IO
*|GROUND_NET 0
*LAYER_MAP

```

Cuadro 8: Documentacion del netlist de la NOT

```

*|NET ln_N__generated_8 OPF
*|I (ld_I_F677D2B119:ln_N_2 ld_I_F677D2B119 ln_N_2 B 0 157.7900 233.5000)
// $llx=157.7900 $lly=233.0000 $urx=157.7900 $ury=234.0000 $lvl=4
*|S (ln_N__generated_8:2 161.1300 233.5000)
//$llx=161.1300 $lly=233.0000 $urx=161.1300 $ury=234.0000 $lvl=4
R8_1 ld_I_F677D2B119:ln_N_2 ln_N__generated_8:2 0.26052 $l=3.3400
$w=1.0000 $lvl=4

```

Cuadro 9: Documentación de la conexión que tiene la NOT

Se puede observar en el Cuadro no.8 que no muestra los pines de entrada y salida del circuito de la not, por lo tanto, no podemos ver si realmente los parásitos están afectando el circuito o ver en que medida afectan la salida. En el esquemático que se trabaja en la síntesis lógica se logran generar los pines de entrada y de salida, por medio de un código sintetizado con las librerías de TSMC que generan la lista de celdas que se pueden ver en el cuadro no.10, estas son las que están representando las celdas **black-box**, al tener el circuito sintetizado, ya se va representado un verilog con las celdas correspondientes al circuito generado, en este caso una not. Lo que se puede extraer estas figuras, es que muestran los puertos del circuito de las librerías de TSMC en el cuadro no.10, estos se logra ver que no son todos los puertos que se muestran en las librerías, ya que carecemos de informacion, no logramos captar que pasa con los puertos desaparecidos. Podemos decir que en una parte del flujo, se esta perdiendo informacion necesaria para poder correr la simulación como es debida con los puertos de entrada y salida que se llegaron a definir desde el Verilog.

```

* Instance Section *
Xld_I_F677D2B118 ld_I_F677D2B118:ln_N_2 ld_I_F677D2B118:ln_N_3 ld_
I_F677D2B118:ln_N_4 PVSS1CDG
Xld_I_F677D2B119 ld_I_F677D2B119:ln_N_2 ld_I_F677D2B119:ln_N_3 ld_
I_F677D2B119:ln_N_4 ld_I_F677D2B119:ln_N_5 ld_I_F677D2B119:ln_N_6
ld_I_F677D2B119:ln_N_7 PDDWo2o4SCDG
Xld_I_F677D2B120 ld_I_F677D2B120:ln_N_2 ld_I_F677D2B120:ln_N_3 ld_
I_F677D2B120:ln_N_4 ld_I_F677D2B120:ln_N_5 ld_I_F677D2B120:ln_N_6
ld_I_F677D2B120:ln_N_7 PDDWo2o4SCDG
Xld_I_F677D2B123 ld_I_F677D2B123:ln_N_2 ld_I_F677D2B123:ln_N_3
ld_I_F677D2B123:ln_N_4 ld_I_F677D2B123:ln_N_5 PVDD1CDG Xld_I_
F677D2B124 ld_I_F677D2B124:ln_N_2 ld_I_F677D2B124:ln_N_3 ld_I_
F677D2B124:ln_N_4 ld_I_F677D2B124:ln_N_5 CKND0BWP7T
Xld_I_F677D2B129 ld_I_F677D2B129:ln_N_2 ld_I_F677D2B129:ln_N_3 ld_
I_F677D2B129:ln_N_4 TIEHBWP7T
Xld_I_F677D2B19 ld_I_F677D2B19:ln_N_2 ld_I_F677D2B19:ln_N_3 ld_I_
F677D2B19:ln_N_4 TIELBWP7T
.ENDS

```

Cuadro 10: Documentación sobre las instancias con las celdas de TSMC

9.2. Pruebas del chip El gran jaguar

El Gran jaguar va a ser el chip que mandaremos a fabricar, este chip va a incluir un mensaje mencionando el nombre del chip y de las personas involucradas en la construcción del mismo, el cual va a ser transmitido a una bocina que dirá el mensaje establecido.

Formality

```

***** Matching Results *****
26 Compare points matched by name
0 Compare points matched by signature analysis
0 Compare points matched by topology
4 Matched primary inputs, black-box outputs
1(0) Unmatched reference(implementation) compare points
0(0) Unmatched reference(implementation) primary inputs, black-box outputs
-----
Unmatched Objects                                REF      IMPL
-----
Registers                                         1         0
  Constrained 0X                                  1         0
*****
1

```

Figura 64: Resultados de los Matching Points del Gran jaguar

```

***** Verification Results *****
Verification SUCCEEDED
-----
Reference design: r:/WORK/chip_SP
Implementation design: i:/WORK/chip_SP
26 Passing compare points
-----
Matched Compare Points   BBPin   Loop   BBNet   Cut   Port   DFF   LAT   TOTAL
-----
Passing (equivalent)     0       1     0       0     9     16    0     26
Failing (not equivalent)  0       0     0       0     0     0     0     0
*****
1

```

Figura 65: Resultados de la verificación del Gran Jaguar

Verdi

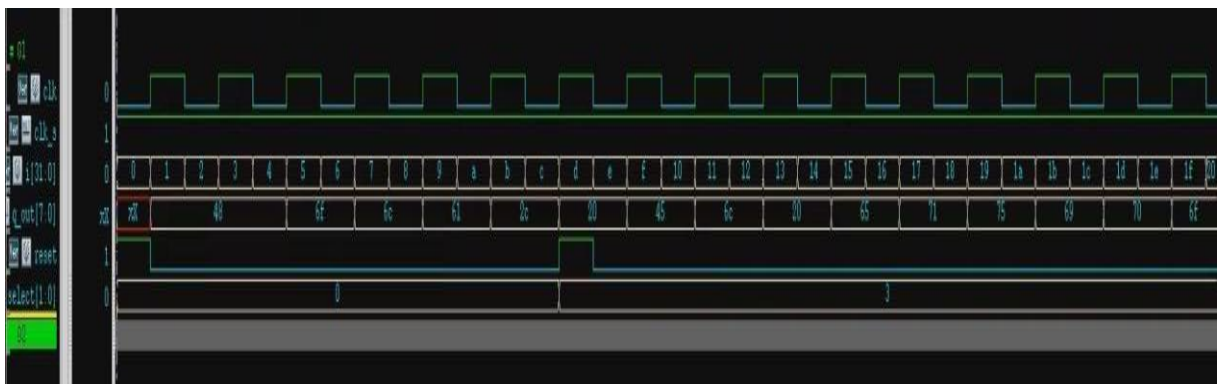


Figura 66: Prueba del Gran jaguar con Verdi

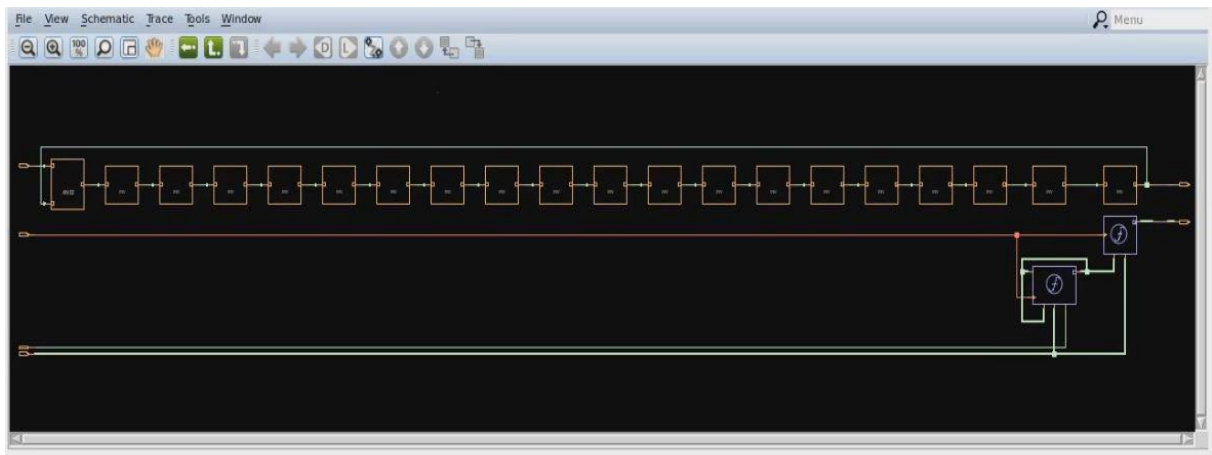


Figura 67: Circuito a implementar del Gran Jaguar

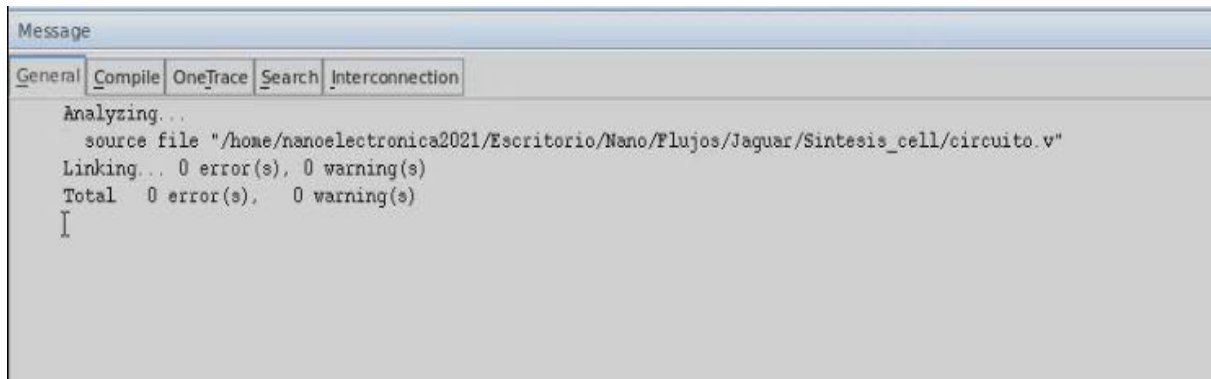


Figura 68: Resultados del Verilog del Gran Jaguar

- Se implementaron varios flujos con diferentes circuitos para aprender más sobre cada una de las herramientas como Formality y Verdi.
- Todos los flujos realizados resultaron exitosos, por las herramientas de *debug* de Formality y Verdi. Estos se pueden comprobar por medio de los resultados obtenidos.
- Se da a conocer una nueva herramienta llamada Verdi, la cual solo había sido mencionada en los trabajos realizados en los años anteriores, esta herramienta ayuda a localizar, entender y resolver los errores. Para maximizar la eficiencia y productividad.
- En Formality podemos concluir que la herramienta es muy buena al usar circuitos complejos, ya que los circuitos simples no muestran gran información al respecto y la herramienta no se vuelve tan útil, por la pequeña cantidad de puntos comparados que tiene el circuito.
- No se pudo obtener la caracterización final del circuito, porque el archivo con parásitos venía incompleto y tampoco se pudieron realizar pruebas necesarias para verificar si el flujo completo fue exitoso.

Recomendaciones

- Al instalar futuras herramientas de Synopsys procurar que tengan la misma versión, sino puede llegar a causar problemas y más con las partes de flujo que van de la mano.
- Al utilizar Formality, se necesita de circuitos de una complejidad media o alta para que la herramienta se pueda aprovechar, pero nunca está de más probar las compuertas de complejidad baja, para ver si se están realizando los pasos correctos.
- Realizar las tareas en conjunto con la persona encargada de la síntesis lógica, para la generación de archivos de VCS.
- Tener un conocimiento básico del uso de VCS, ya que Verdi utiliza los archivos generados desde VCS.
- Revisar el material generado y guiarse por las herramientas que vienen dentro del instalador de cada una de estas, en donde muestra el tutorial del uso de la herramienta aunque no sea en su totalidad y guías para familiarizarse mejor con la herramienta.

-
-
- [1] S. R. Vasquez, “Definición del flujo de diseño para fabricación de un chip con tecnología VLSI CMOS,” *Facultad de Ingeniería Electrónica*, 2020.
 - [2] L. N. Vasquez, “Implementación de circuitos sintetizados a nivel netlist a partir de un diseño en lenguaje descriptivo de hardware como primer paso en el flujo de diseño de un circuito integrado,” *Facultad de Ingeniería Electrónica*, 2020.
 - [3] J. R. Orellana, “Definición del flujo en la herramienta VCS para la simulación de HDLs en la Fabricación de un Chip con Tecnología Nanométrica CMOS,” *Facultad de Ingeniería Electrónica*, 2020.
 - [4] S. Kang e Y. Leblebici, “CMOS FABRICATION TECHNOLOGY AND DESIGN RULES,” *Chapter 2 (Fabrication of MOSFETs) of the book CMOS Digital Integrated Circuit Design*, 2003.
 - [5] J. F. M. Lenddech, “Circuitos integrados de pequeña, mediana y gran escala,” en *Licenciatura en ingeniería en computación*, Universidad Autónoma del Estado de México, N/A, págs. 1-32.
 - [6] C. C. Girón, “Ejecución y utilización de un flujo de diseño para el desarrollo de un chip con tecnología nanométrica: Extracción de componentes parásitos y simulaciones en HSPICE,” *Facultad de Ingeniería Electrónica*, 2020.
 - [7] F. torres del Valle, “LENGUAJES DE DESCRIPCIÓN DE HARDWARE,” *xdoc.mx*, págs. 1-8, <https://xdoc.mx/preview/lenguajes-de-descripcion-de-hardware-5c2d1aa29da5a>.
 - [8] Synopsys, “VCS,” <https://www.synopsys.com/verification/simulation/vcs.html>, N/A, 2021.
 - [9] Synopsys, “Verdi,” <https://www.synopsys.com/verification/debug/verdi.html>, N/A, 2021.
 - [10] Synopsys, “Formality User Guide, Version S-2021.06-SP2,” www.synopsys.com, sep. de 2021.
 - [11] Synopsys, “StarRC,” <https://www.synopsys.com/implementation-and-signoff/signoff/starrc.html>, N/A, 2021.

13.1. Uso de comandos

13.1.1. Formality

Al iniciar Formality en una terminal se utiliza el comando: Formality con esto va a abrir dos cosas, una que es la interfaz gráfica para poder realizar la verificación y va a seguir corriendo en paralelo los comandos necesarios dependiendo de las acciones que se hagan en la interfaz gráfica.

```
read_verilog -container r -libname WORK -05 { /home/nanoelectronica2021/Escritorio/Nano/Flujos/NOT/not/pruebas_not/Not.v }
set_top r:/WORK/Not
read_verilog -container i -libname WORK -05 { /home/nanoelectronica2021/Escritorio/Nano/Flujos/NOT/not/pruebas_not/salidas_not/out_not.v }
read_db { /home/nanoelectronica2021/Escritorio/Nano/Flujos/NOT/not/pruebas_not/Formality/tcb018gbwp7tbc.db /home/nanoelectronica2021/Escritorio/Nano/Flujos/NOT/not/pruebas_not/Formality/tpd018nvtc.db }
read_verilog -container i -libname WORK -05 { /home/nanoelectronica2021/Escritorio/Nano/Flujos/NOT/not/pruebas_not/salidas_not/out_not.v }
set_top i:/WORK/Not
match
verify
```

Figura 69: Comandos requeridos para la verificación de la síntesis lógica de una compuerta NOT

Para poder correr estos comandos que se presentan en la figura de arriba, Formality tiene que estar en *fm_shell*, en esta parte se puede ir variando en las diferentes etapas de la verificación, las cuales son: *Guide*, *Setup*, *Match* y *Verification* . Estas se pueden ir variando, poniendo en la terminal el nombre tal cual se muestra. Al utilizar *fm_shell* va a tirar a la etapa de *Setup* por defecto y corriendo línea por línea como se muestra en la figura, esta etapa debería ser realizada.

```

read_verilog -container r -libname WORK -05 { /home/nanoelectronica2021/Escritorio/Nano/Flujos/XOR/
sintesis_xor/Xor.v }
set_top r:/WORK/Xor_2
read_verilog -container i -libname WORK -05 { /home/nanoelectronica2021/Escritorio/Nano/Flujos/XOR/
sintesis_xor/salidas/out_xor.v }
read_db { /home/nanoelectronica2021/Escritorio/Nano/Flujos/XOR/sintesis_xor/tcb018gbwp7tbc.db /home/
nanoelectronica2021/Escritorio/Nano/Flujos/XOR/sintesis_xor/tpd018nvtc.db }
read_verilog -container i -libname WORK -05 { /home/nanoelectronica2021/Escritorio/Nano/Flujos/XOR/
sintesis_xor/salidas/out_xor.v }
set_top i:/WORK/Xor_2
match
verify

```

Figura 70: Comandos requeridos para la verificación de la síntesis lógica de una compuerta XOR

```

read_verilog -container r -libname WORK -05 { /home/nanoelectronica2021/Escritorio/Nano/
Flujos/Full_adder/Sintesis_cell/fulladder.v }
set_top r:/WORK/fulladd
read_verilog -container i -libname WORK -05 { /home/nanoelectronica2021/Escritorio/Nano/
Flujos/Full_adder/Sintesis_cell/salidas/Fulladd_out.v }
read_db { /home/nanoelectronica2021/Escritorio/Nano/Flujos/NOT/not/pruebas_not/Formality/
tcb018gbwp7tbc.db /home/nanoelectronica2021/Escritorio/Nano/Flujos/NOT/not/pruebas_not/
Formality/tpd018nvtc.db }
set_top i:/WORK/fulladd
match
verify
save_session -replace /home/nanoelectronica2021/Escritorio/Nano/Flujos/Full_adder/
Sintesis_cell/Formality/F_ADDER

```

Figura 71: Comandos requeridos para la verificación de la síntesis lógica de un *Full adder*

```

read_verilog -container r -libname WORK -05 { /home/nanoelectronica2021/Escritorio/Nano/
Flujos/Full_adder/Sintesis_cell/fulladder.v }
set_top r:/WORK/fulladd
read_verilog -container i -libname WORK -05 { /home/nanoelectronica2021/Escritorio/Nano/
Flujos/Full_adder/Sintesis_cell/salidas/Fulladd_out.v }
read_db { /home/nanoelectronica2021/Escritorio/Nano/Flujos/NOT/not/pruebas_not/Formality/
tcb018gbwp7tbc.db /home/nanoelectronica2021/Escritorio/Nano/Flujos/NOT/not/pruebas_not/
Formality/tpd018nvtc.db }
set_top i:/WORK/fulladd
match
verify
save_session -replace /home/nanoelectronica2021/Escritorio/Nano/Flujos/Full_adder/
Sintesis_cell/Formality/F_ADDER

```

Figura 72: Comandos requeridos para la verificación de la síntesis lógica de una ALU de 4 bits

```
read_verilog -container r -libname WORK -05 { /home/nanoelectronica2021/Escritorio/Nano/Flujos/Counter4B/Sintesis_cell/counter4.v }
set_top r:/WORK/counter4
read_verilog -container i -libname WORK -05 { /home/nanoelectronica2021/Escritorio/Nano/Flujos/Counter4B/Sintesis_cell/salidas/counter4_out.v }
read_db { /home/nanoelectronica2021/Escritorio/Nano/Flujos/Counter4B/Sintesis_cell/FORMALITY/tcb018gbwp7tbc.db /home/nanoelectronica2021/Escritorio/Nano/Flujos/Counter4B/Sintesis_cell/FORMALITY/tpd018nvtc.db }
set_top i:/WORK/counter4
match
verify
save_session -replace /home/nanoelectronica2021/Escritorio/Nano/Flujos/Counter4B/Sintesis_cell/FORMALITY/Counter4
```

Figura 73: Comandos requeridos para la verificación de la síntesis lógica de un contador de 4 bits

Estos son los comandos generados desde la consola de Formality, al realizar un verificación de un flujo en la interfaz gráfica se van generando una serie de comandos en la parte del *setup* y esos comandos se guardaron en un .tcl en donde se sacaron las figuras anteriores.

